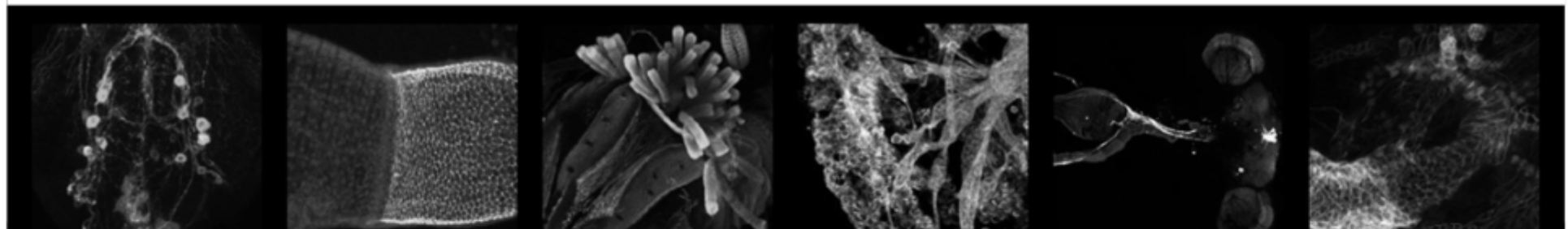


# Konfokální mikroskopie a nové trendy ve fluorescenční mikroskopii

RNDr. Jan Škoda (přednáší Mgr. Blanka Jančeková)  
Ústav experimentální biologie PřF MU



## INVESTICE DO ROZVOJE VZDĚLÁVÁNÍ

Tato prezentace je spolufinancována  
Evropským sociálním fondem  
a státním rozpočtem České republiky

# Program přednášky

- Historie a princip konfokálního mikroskopu
- Typy konfokálních mikroskopů
- Dvoufotonový (multifotonový) mikroskop
- Možnosti zobrazení
- Rozlišení a dekonvoluce
- Superrozlišovací mikroskopie
- Lightsheet fluorescence microscopy a TIRF

# Konfokální mikroskop

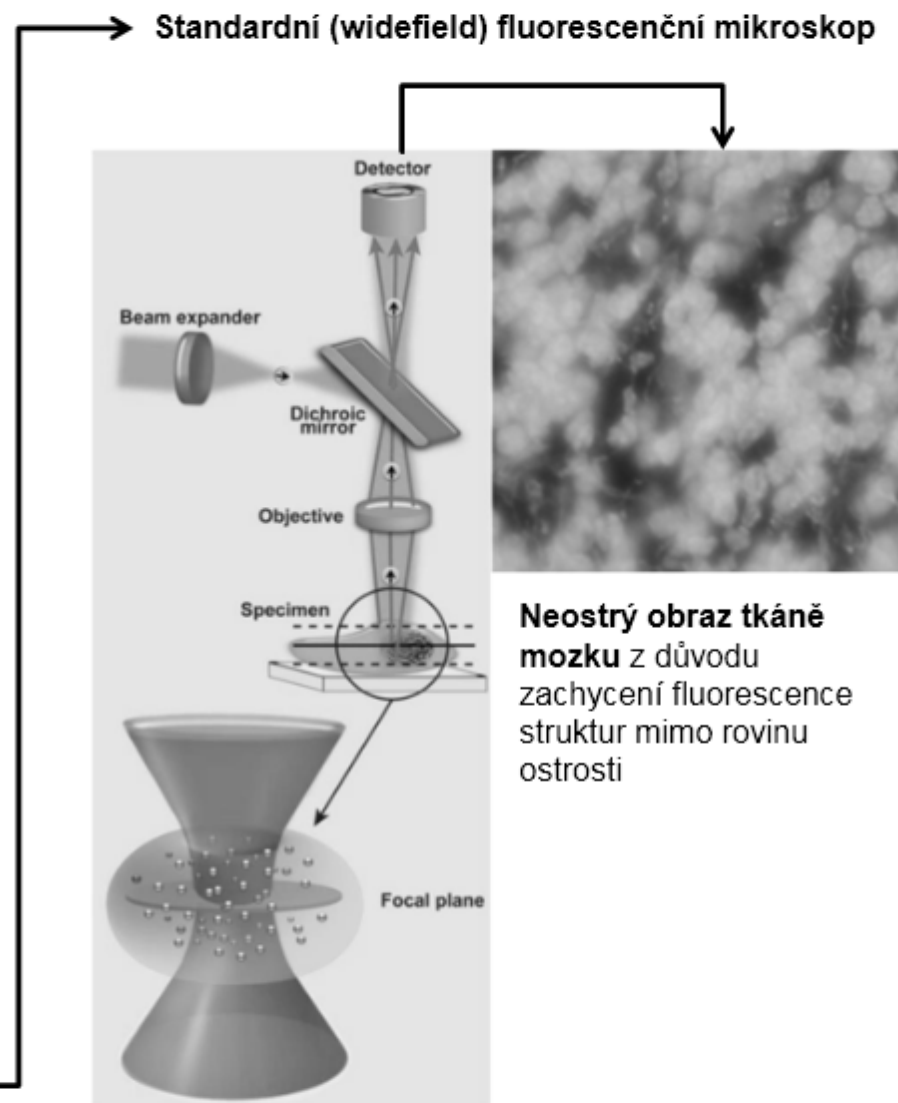


**Marvin Lee Minsky**

(9. srpna 1927 – 24. ledna 2016)

- kognitivní vědec; studium umělé inteligence
- studium nervových sítí v mozku
- snaha zaznamenávat děje v živých tkáních

ALE JAK? \_\_\_\_\_



# Konfokální mikroskop

- 1955 – Marvin Minsky sestrojil **první konfokální mikroskop** (1961 patent)

United States Patent Office

3,013,467  
Patented Dec. 19, 1961

Dec. 19, 1961

M. MINSKY  
MICROSCOPY APPARATUS  
Filed Nov. 7, 1967

3,013,467

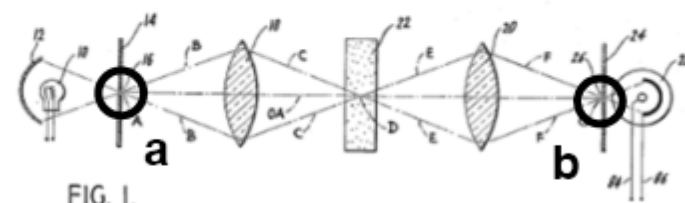


FIG. 1.

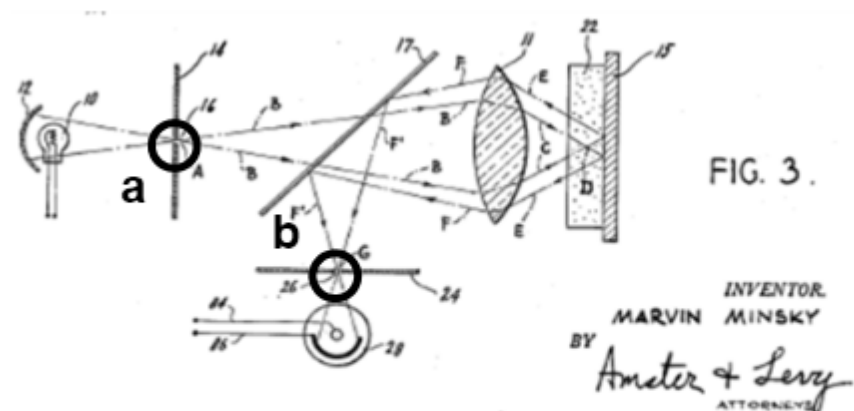


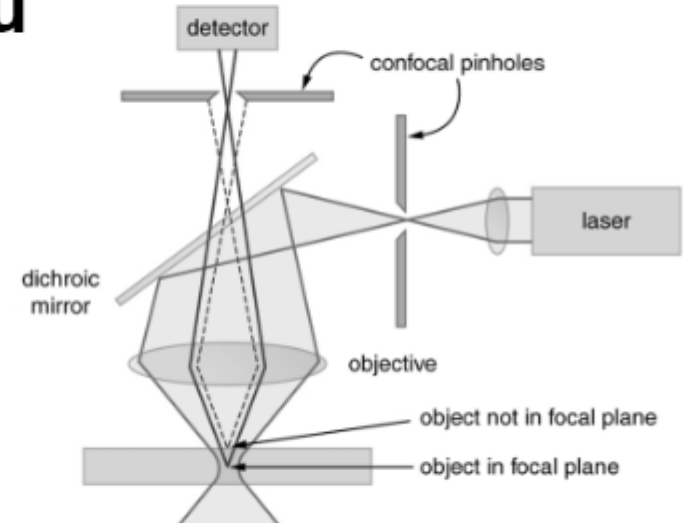
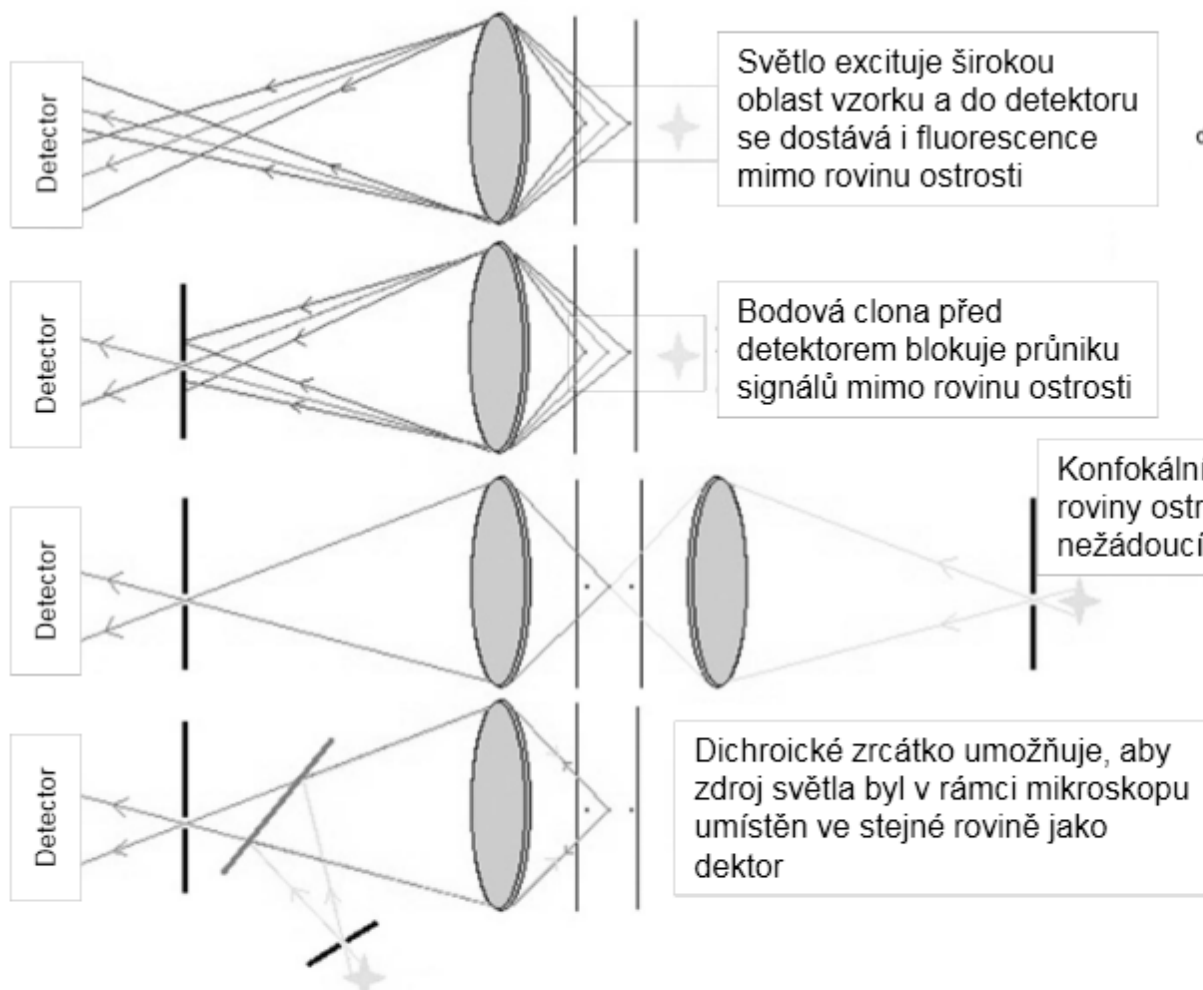
FIG. 3.

INVENTOR.  
MARVIN MINSKY  
BY *Amster & Levy*  
ATTORNEYS

<http://www.google.com/patents/US3013467>

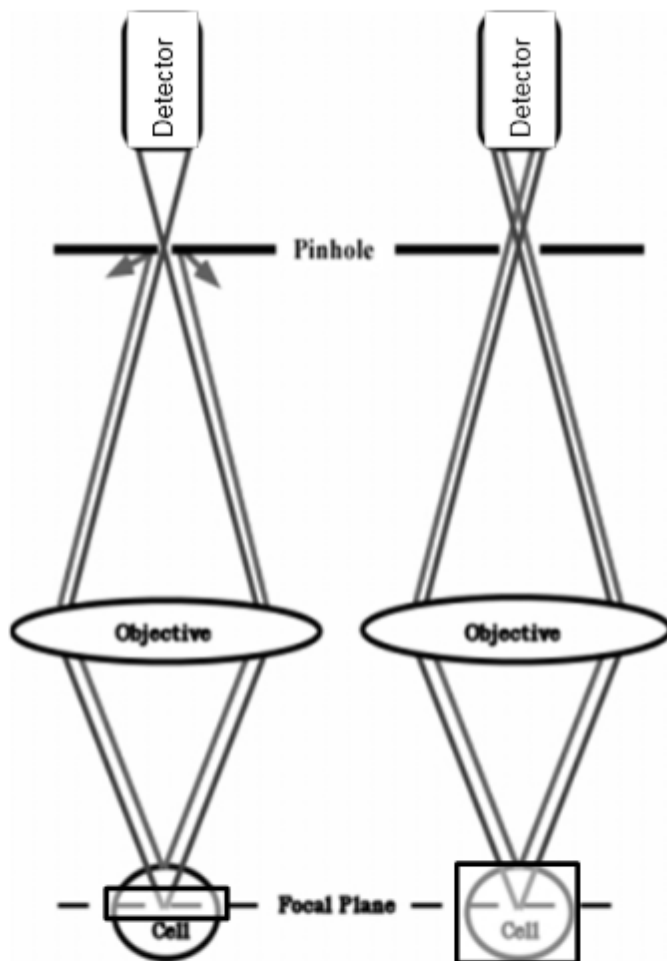
- základem **2 konfokální bodové clonky** (pinhole apertures)
  - a) před zdrojem světla → úzký paprsek světla (světlo do konkrétního bodu)
  - b) před detektorem → propustí pouze zaostřené světlo (na úzkou rovinu)
- navržení konstrukce i pro odražené (emitované světlo)

# Princip konfokálního mikroskopu



Obě bodové clonky – tzv. konjugovaných rovinách ostrosti (současně zaostřené)

# Tloušťka optického řezu – průměr bodové clonky



Rozlišení v ose Z = tloušťka optického řezu závisí na:

- vlnové délce excitace/emise ( $R_{x-y}=\lambda/2NA$ )
- numerické apertuře objektivu
- indexu lomu komponent v optické dráze
- průměru bodové clonky (pinhole) → ve většině konfokálních mikroskopů nastavitelná velikost clony
- $R_z \sim$  asi 2x větší než  $R_{x-y}$

Malý průměr bodové clonky – propouští signály z tenkého řezu → (+) z jiných rovin jsou signály odfiltrovány; (-) prochází minimum světla

Velký průměr bodové clonky – (+) vyšší intenzita signálu; (-) propouští signály v rovině ostrosti i mimo ni

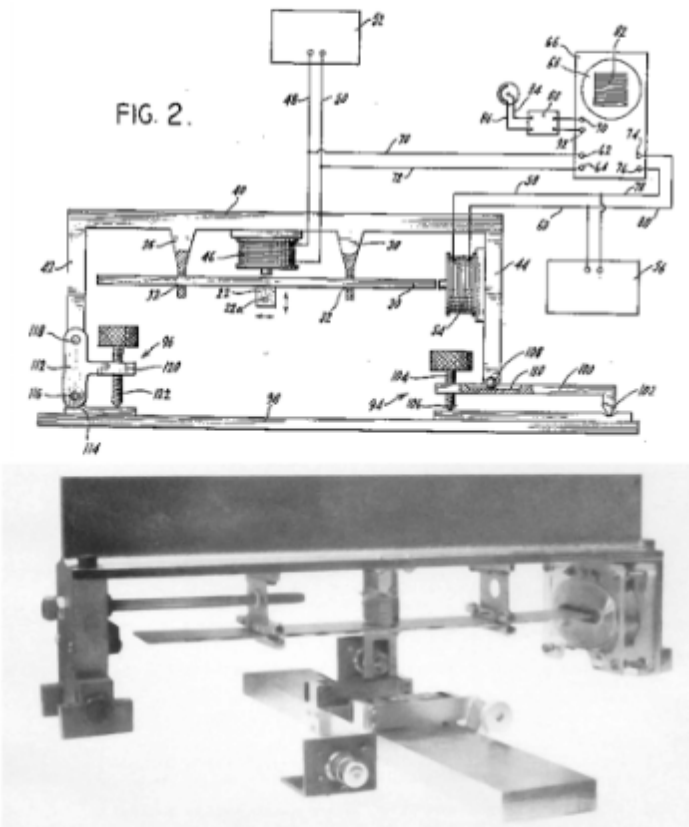
# Konfokální mikroskop dle Marvina Minsky

Memoár Marvina Minsky: <http://web.media.mit.edu/~minsky/papers/ConfocalMemoir.html>

- omezení neostrého signálu
- zvýšení signálu proti pozadí
- zvýšení rozlišení
- mikroskopie silných a členitých praparátů s dostatečným rozlišením
- ✗ neměl k dispozici vhodný (výkonný) zdroj světla
- ✗ celkový obraz (složení jednotlivých bodů) vytvářen pomocí pohybu stolku s preparátem



Historie a princip konfokálního mikroskopu



- ✗ počítače nebyly dostatečně výkonné a dostupné – obraz byl promítán skrze armádní radar (bez záznamu; snímek zobrazen 10s, pak nový sken)

# Snímání vzorku – tvorba výsledného obrazu

Z uspořádání mikroskopu vyplývá, že v jednom kroku získáme informaci pouze o jednom bodu (velmi omezené oblasti) – pro získání obrazu celé roviny je nutné detektovat sérii signálů z dané roviny.

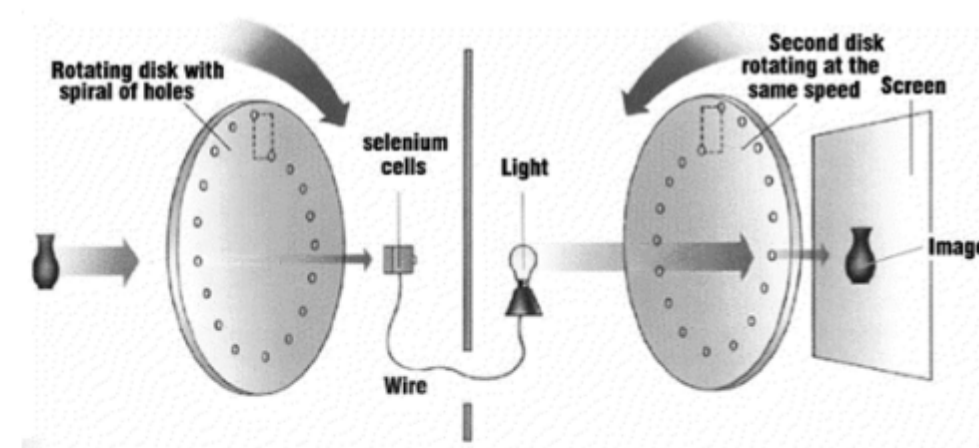
## 3 možnosti snímání vzorku

- a) pohybuje se vzorek (Minsky)
- b) pohybuje se objektiv (David Egger a Paul Davidovits; doi:10.1038/223831a0)
- c) **pohybuje se paprsek světla** – (skenování, rastrování)
  - multiple-beam scanning – na bázi Nipkowova disku
  - single-beam scanning – laserový skenovací konfokální mikroskop

# Konfokální mikroskop na bázi rotujícího Nipkowova disku

**Paul Nipkow (1860–1940)**

- německý inženýr polského původu
- snímání a rozklad obrazu pomocí rotujícího disku
  - po obvodu opatřen otvory umístěnými ve spirále
  - vyžaduje 1 snímací fotočlánek
  - 1884 patentoval
  - 1925 byl Nipkowův disk použit pro první (mechanickou) třicetiřádkovou televizi (5 snímků/s)

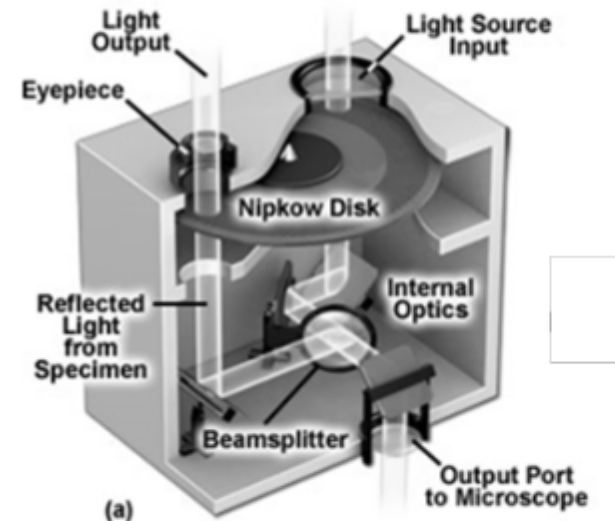
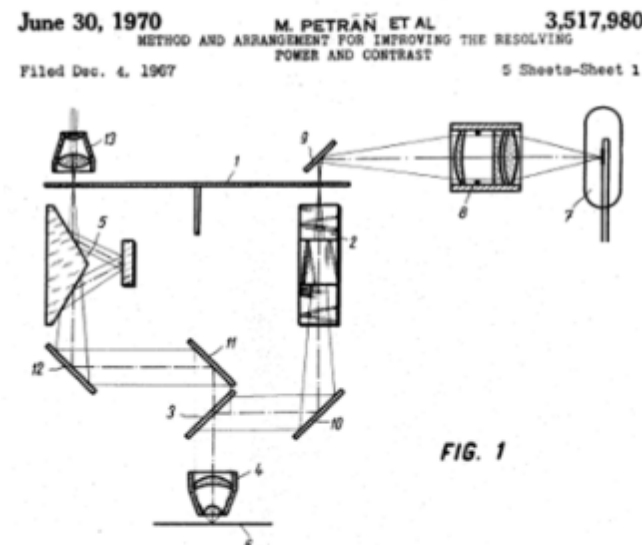


# Konfokální mikroskop na bázi rotujícího Nipkowova disku

Spinning Disk Confocal Microscopy

**prof. Mojmír Petráň** (28. března 1923) [shlédnout dokument ČT](#)

- profesor biofyziky; působil na Lékařské fakultě UK v Plzni
- modifikace Nipkowova disku pro optickou mikroskopii a zároveň zajišťující konfokální efekt → Tandem-Scanning-Microscope
- v roce 1967 patentoval v USA se spolupracovníkem Milanem Hadravským
- 1968 – výroba v rámci JZD Komorno u Plzně v jednotkách kusů



- redukce velikosti disku i otvorů; zvýšení počtu otvorů z desítek na tisíce
- na zorné pole prochází světlo asi z 1000 otvorů
- při rotaci jsou pokryty prostory původně neosvícené → vykrytí celého zorného pole
- rychlosť až 1000 (2000) snímků/s

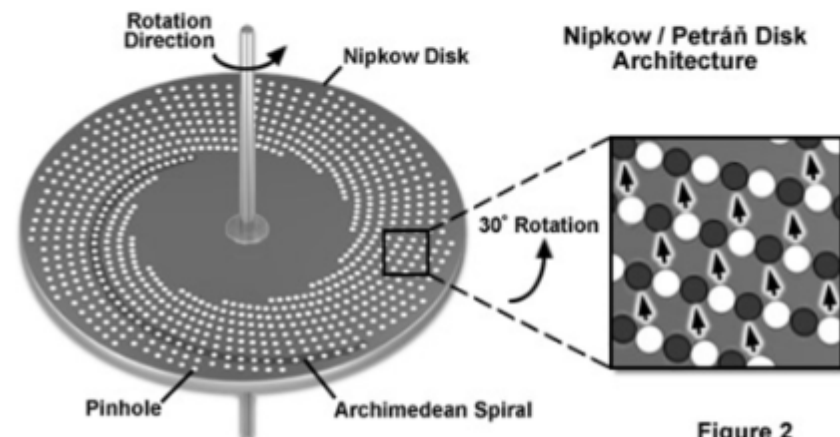
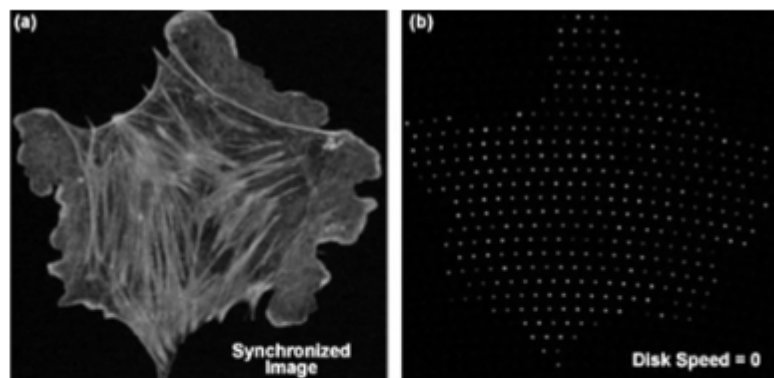
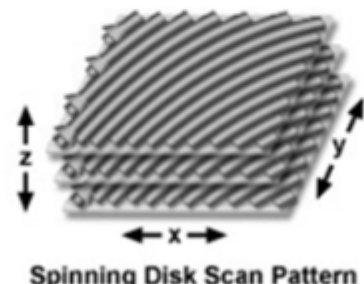


Figure 2

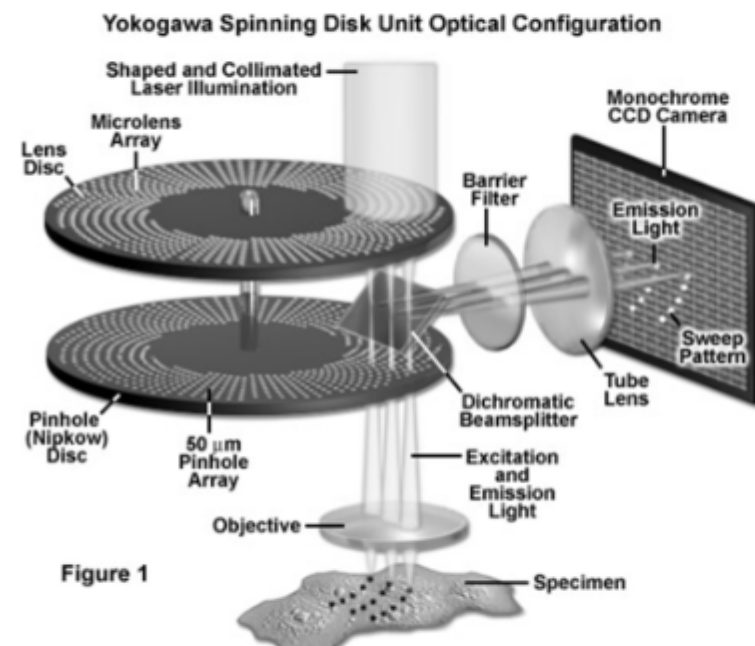


Figure 1

## Laserový skenovací (rastrovací) konfokální mikroskop (LSCM)

Laser Scanning Confocal Microscope

- rozvoj od konce 70. let 20. století
- rastrování probíhá rozmítáním (posunem) paprsku pomocí natáčecích zrcadel  
– umístěny mezi dichroické zrcadlo a objektiv
- snímání všech bodů roviny (princip jako pohyb po stínítku televize)
- rychlosť maximálně 30 snímků/s

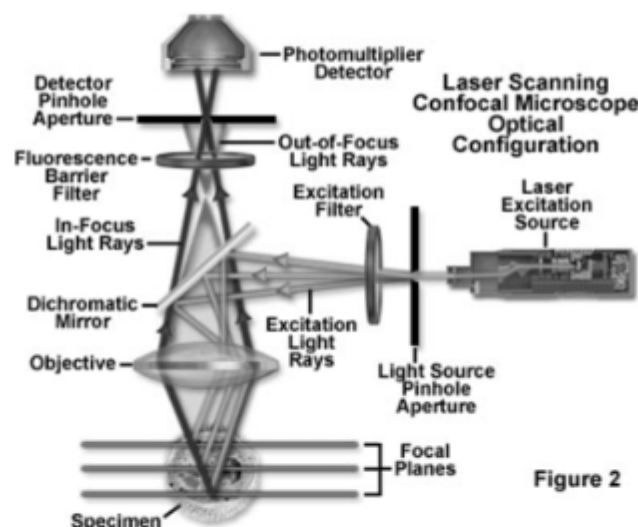
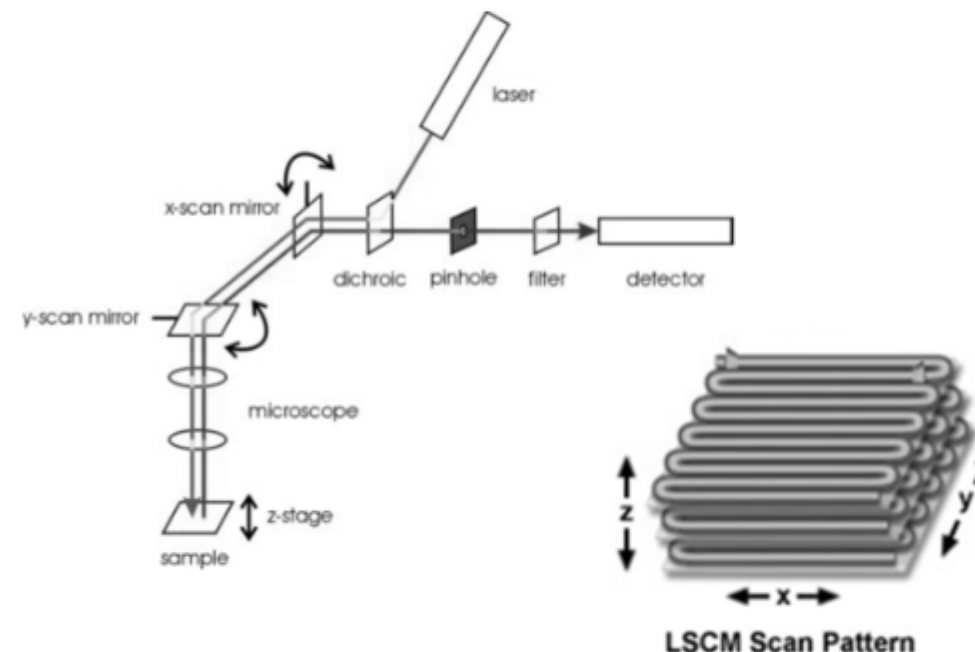


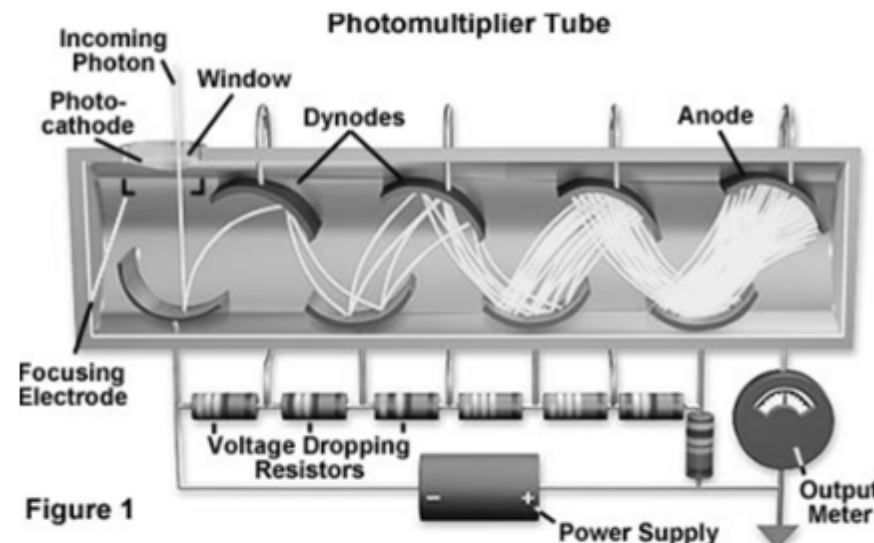
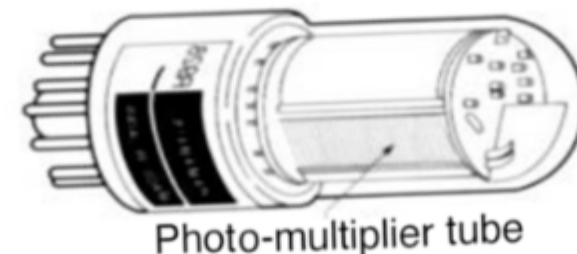
Figure 2



## Detekce signálu u LSCM

### Fotonásobič (photo-multiplier tube, PMT)

- citlivý detektor světla (UV, VIS, near IR)
- zesiluje signál přinášený světelným paprskem (fluorescence z preparátu)



### Princip fotonásobiče

- konverze fotonu na elektron (fotokatoda)
- znásobení elektronů (dynody)
- detekce signálu – proudu (anoda)

## Srovnání LSCM a konfokální mikroskopie na bázi rotujícího disku

LSCM	Nipkowův disk
Nutnost snímat obraz bod po bodu → delší doba rastrování = max. 30 snímků/s	V jednom okamžiku snímáno více bodů → obraz rastrován 100–1000krát rychleji
Fotonásobič schopný detekovat pouze 15–45 % fluorescence = zvyšení rychlosti skenování snižuje množství fotonů, které dopadnou na fotonásobič a tím zvyšuje šum ve výsledném obrazu → nutno využít vyšší excitační energii laseru	Obraz rastrován otvory v disku paralelně – ve stejném čase (v porovnání s LSCM) je naskenováno více bodů obrazu (i opakovaně) → lze využít nižší intenzity osvětlení = nižší vysvícení (photobleaching) preparátu, nižší fototoxicita
Postupné snímání bodů → lepší axiální rozlišení (v ose Z)	„Pinhole crosstalk“ – průchod odraženého světla skrze sousední otvory v disku → zvýšené pozadí pro tlusté vzorky a snížení axiálního rozlišení
Snadno lze využít metody FRAP, fotoaktivace a fotokonverze	Nutno zabudovat přídavný polohovatelný laser pro lokální vysvícení/aktivaci fluoroforů
→ Výhodné pro kolokalizační studie	→ Výhodné pro life imaging, zejména dynamických procesů

# Moderní konfokální mikroskopie

- **zdroj světla – laser**
- detektor: CCD kamera, fotonásobič
- **obraz tvořen v PC**
  - zaznamenaná intenzita signálu a polohu bodu
  - v rastru naskenována jedna rovina praparátu, posun do jiné roviny
  - software umožňuje skládání obrazů (velké objekty v ose X-Y; tlusté objekty v ose Z)
  - 3D a 4D projekce

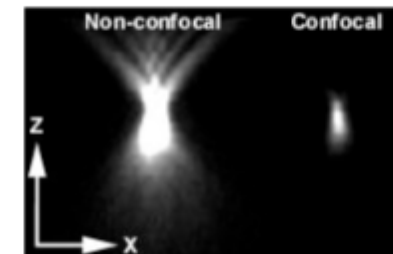
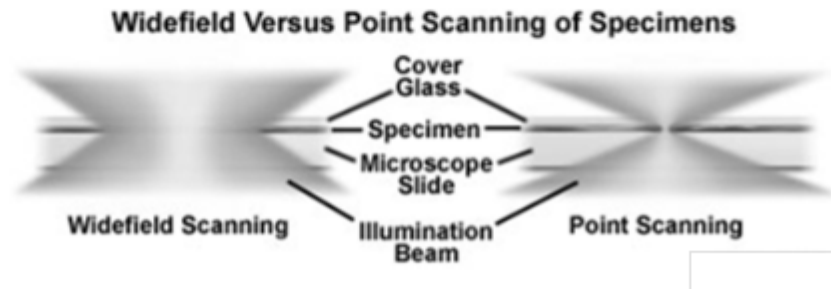


Konfokální mikroskop Nikon A1<sup>+</sup>



Konfokální mikroskop Olympus FluoView FV1200

## Srovnání konfokálního a standardního (widefield) mikroskopu



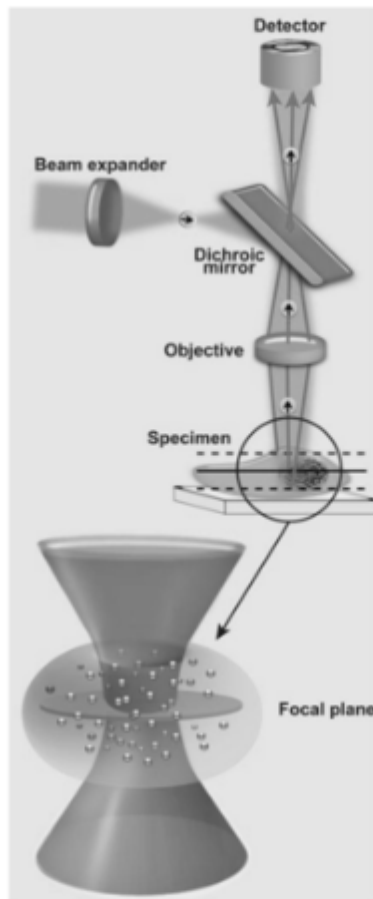
### Standarní fluorescenční mikroskop

- vznik fluorescence i v oblastech vzorku, který je mimo zaostření – interferuje s fluorescencí v místě zájmu
- platí pro preparáty tlustejší jak  $2\mu\text{m}$
- celý vzorek ozářen – celé zorné pole lze sledovat nebo zaznamenat (kamera)
- rozlišení v ose Z:  $2\text{-}3 \mu\text{m}$

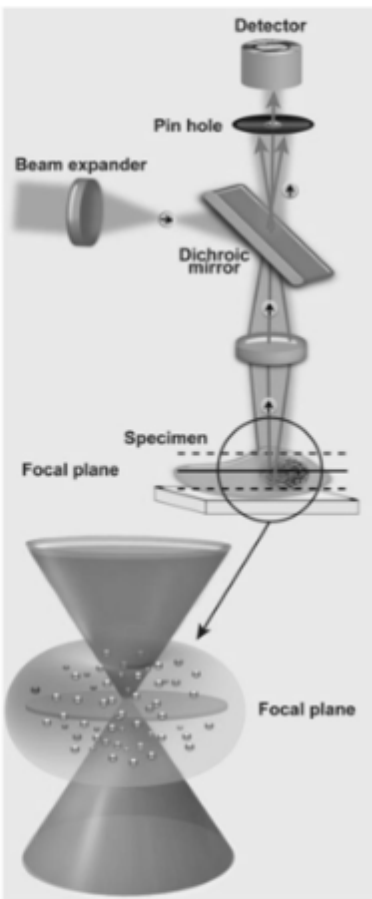
### Konfokální fluorescenční mikroskop

- omezení signálu který je mimo rovinu ostrosti → zvýšení rozlišení
- jeden nebo více světelných paprsků „skenuje“ plochu zorného pole
- získání optického řezu = 1 obrázek z dané roviny zaostření
- lze tedy zaostřit do jakékoliv roviny buňky (objektu) bez fyzického řezání
- automatické získání obrazů z více rovin - tvorba 3D obrazu
- optické rozlišení v ose Z:  $0,5\mu\text{m}$

## Srovnání konfokálního a standardního (widefield) mikroskopu

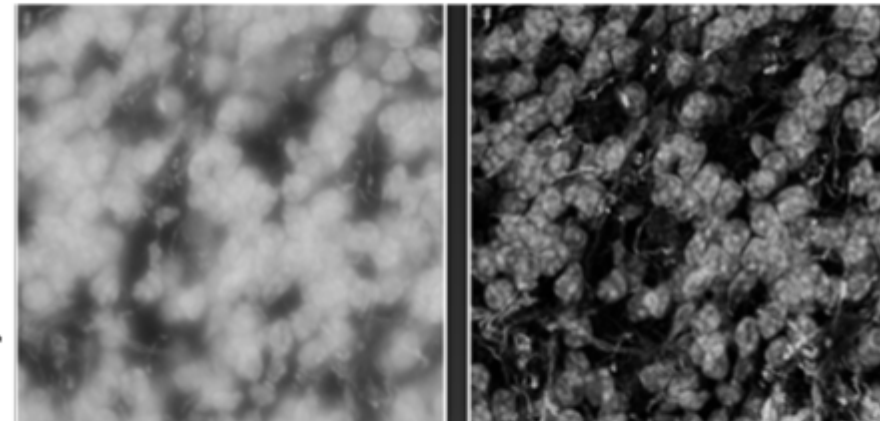


Standardní  
fluorescenční  
mikroskop



Konfokální  
mikroskop

Myši mozková tkáň



Standardní  
fluorescenční  
mikroskop

Konfokální  
mikroskop

### Výhody konfokální mikroskopie

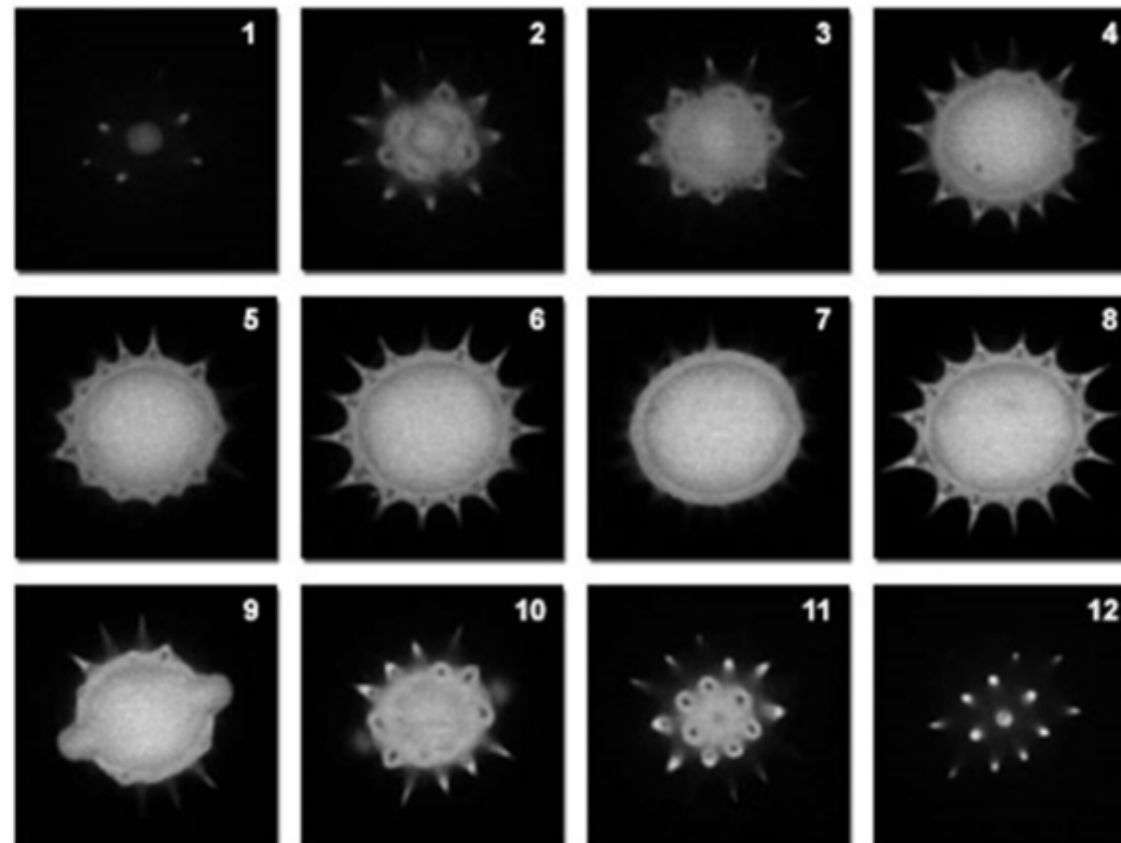
- vymezená hloubka ostrosti – možnost snímání optických řezů vzorkem
- eliminace signálu (jasu) z rovin mimo zaostření
- lze snímat objemnější živé objekty

Online tutoriál 1

# Možnosti zobrazení

- 1 optická rovina (řez)

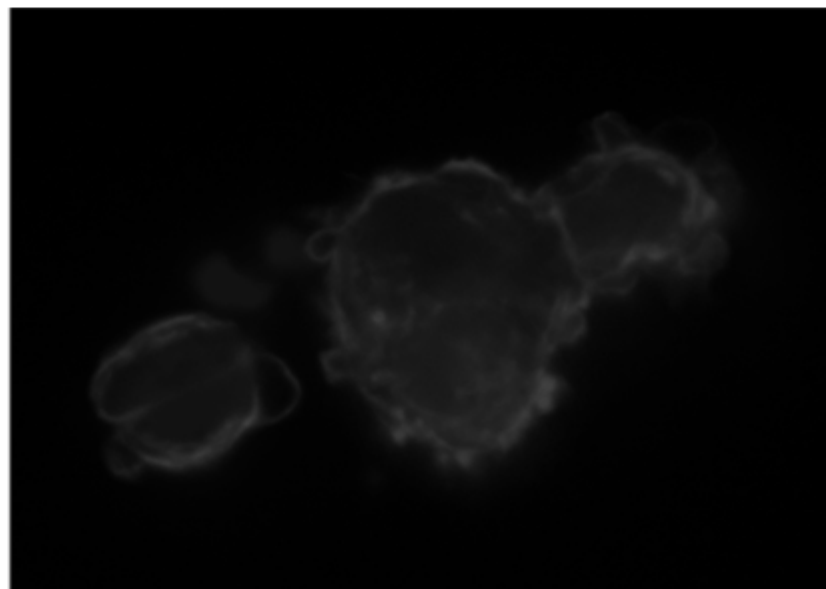
Pollen Grain Serial Optical Sections by Confocal Microscopy



# Možnosti zobrazení

## Z-Serie a 3D zobrazení

- sekvence optických řezů z různých rovin kolmých na osu Z
- skládání řezů při postupném posouvání preparátu v ose Z
- krok a celkovou hloubku posunu lze navolit
- řezy lze softwarově sečíst nebo spojit v animaci

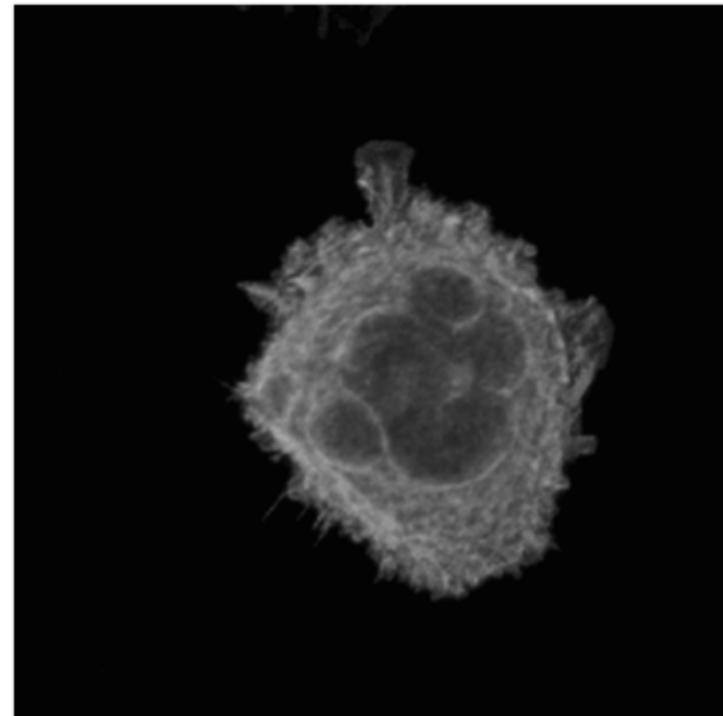
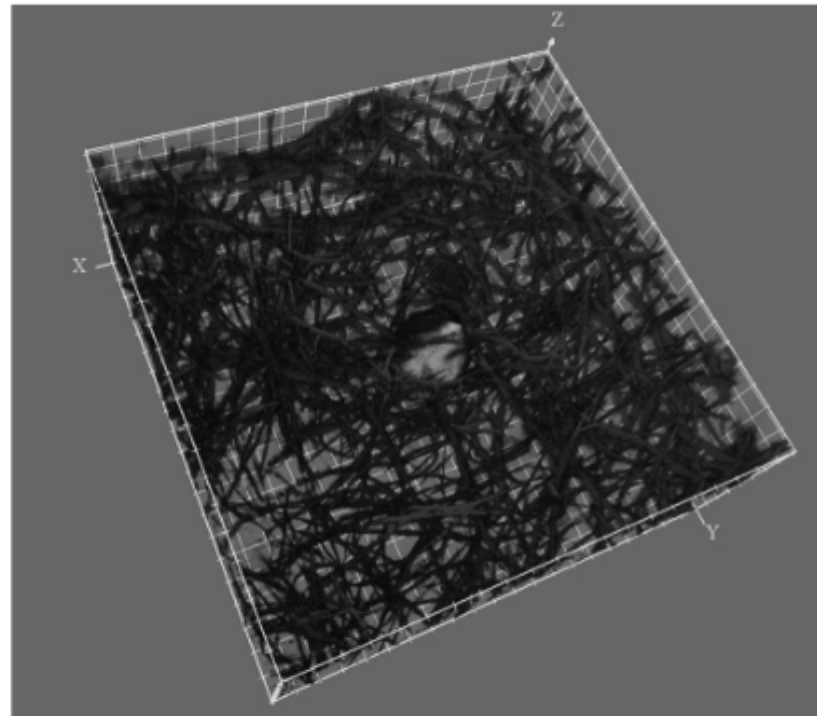


apoptotické buňky linie P19,  
modrá: DAPI; červená: phalloidin-TRITC

# Možnosti zobrazení

## 3D zobrazení

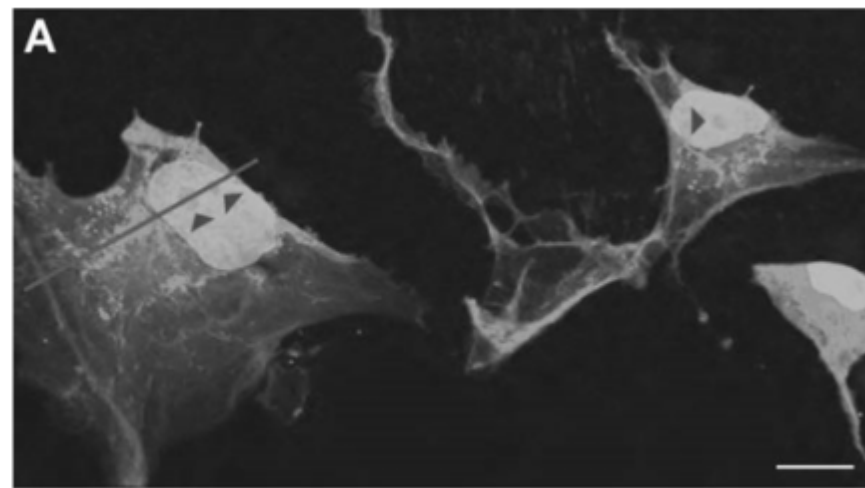
- optické řezy z různých rovin kolmých na osu Z
- tvorba 3D snímku



# Možnosti zobrazení

## X-Z, Y-Z zobrazení

- s použitím optických řezů lze vidět preparát „z boku“



B



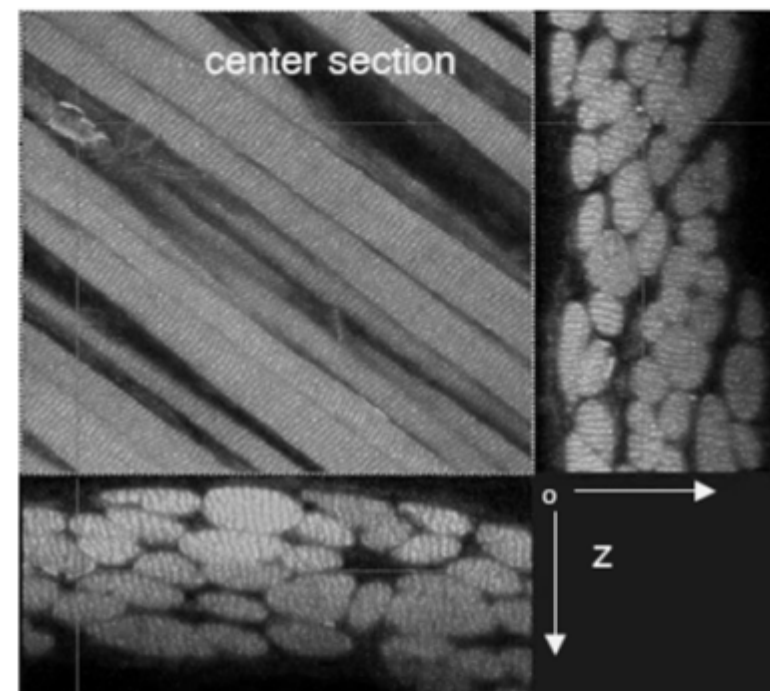
C



D



detekce nestinu v buňce glioblastomu



svalová vlákna

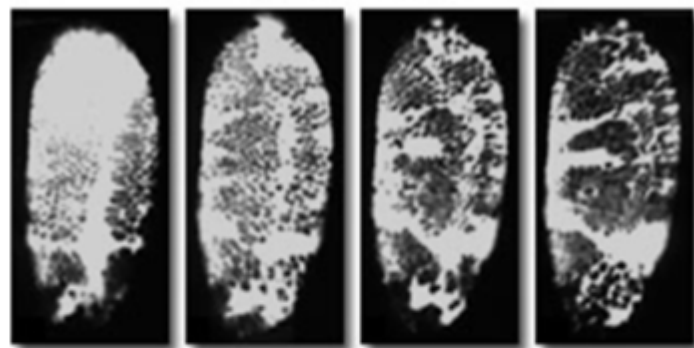
# Možnosti zobrazení

## časosběrné snímání a zobrazení živých buněk (objektů), 4D

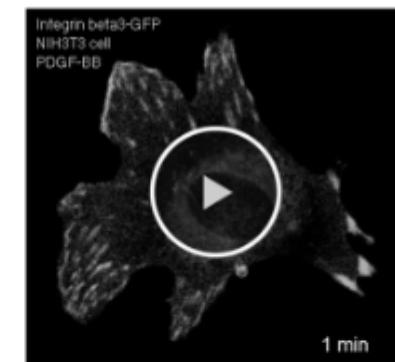
- rozdíly mezi živým a fixovaným objektem

Criteria	Fixed Cells	Living Cells
Limits of illumination	Fading of fluorophore	Phototoxicity and fading of dye
Antifade reagent	Phenylenediamine, etc.	NONE!
Mountant	Glycerol ( $n = 1.51$ )	Water ( $n = 1.33$ )
Highest NA lens	1.4	1.2
Time per image	Unlimited	Limited by speed of phenomenon; light sensitivity of specimen

Time-Lapse Imaging

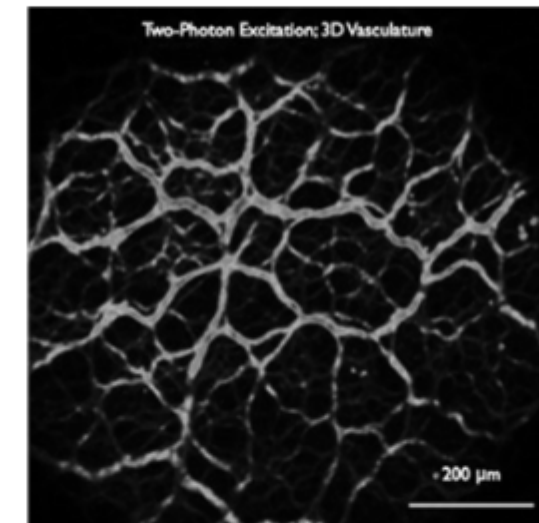


Živé embryo  
D. melanogaster po injekci  
calcium green – změny  
distribuce v čase



# Multifotonová fluorescenční mikroskopie

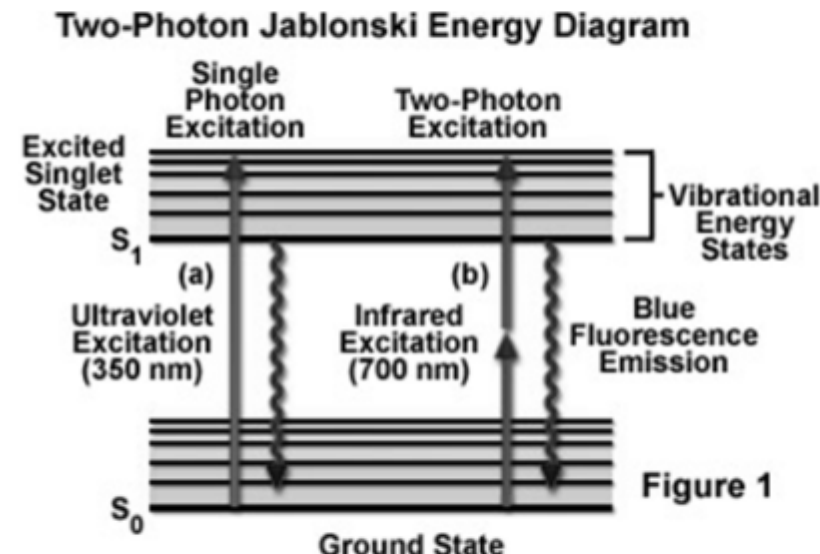
- **Pozorování vzorků s velkou optickou hloubkou - řezy tkání** (Pozorování nervových sítí, mikrovaskulatury atp., in vivo studie, excitace jednotlivých organel)
- Metoda podobná konfokální mikroskopii (hardware, detektor)
- Infračervený pulsní laser - **excitace fotony s nižší energií** (větší vlnová délka světla) = **menší poškození vzorku**
- Biologický materiál lépe absorbuje světlo o větší vlnové délce – fotony pronikají hlouběji
- dvoufotonová: využívá současně absorbce 2 fotonů k excitaci fluorochromu
- třífotonová: využívá současně absorbce 3 fotonů



# Dvoufotonová fluorescenční mikroskopie

Základním principem je **excitace dvěma fotony** o větší vlnové délce a nižší energii

- energie dodaná fluorochromu současnou absorpcí dvou fotonů o dané vlnové délce  
→ excitace 1 elektronu
- současně = v intervalu  $10^{-18}$  s
- **2 excitační fotony mají přibližně dvakrát větší vlnovou délku a poloviční energii**  
jako jednotlivý foton schopný vyvolat excitaci fluorochromu
- pravděpodobnost absorbce 2 fotonů  
fluoroforem je velmi nízká → nutná vysoká  
denzita fotonů ( $1.000.000x$  vyšší než  
současně = v intervalu  $10^{-18}$  s)
- vyžaduje vysoce účinný pulsní IR laser  
(např. titan-safírový) = **drahé**



# Dvoufotonová fluorescenční mikroskopie

- excitace fluoroforu zejména v místě zaostření paprsku laseru (je zde vyšší pravděpodobnost absorbce 2 fotonů než v místech, kde je paprsek více rozptýlený)
- excitace je lokalizována do velmi malého bodu ( $1 \text{ femtolitr} = 10^{-15} \text{l}$ )
  - To snižuje fototoxicitu
  - nedochází tak k rychlému vysvícení v celé hloubce preparátu
- omezení nezaostřeného obrazu = není potřeba bodová clona
- snímání signálu pomocí fotonásobiče
- jeden snímaný bod = 1pixel (voxel)

Emise fluorescence v ose Z v rámci preparátu

- a) dvoufotonový mikroskop (v místě zaostření)
- b) konfokální mikroskop (v celé hloubce preparátu)

Fluorophore Excitation in Multiphoton Microscopy

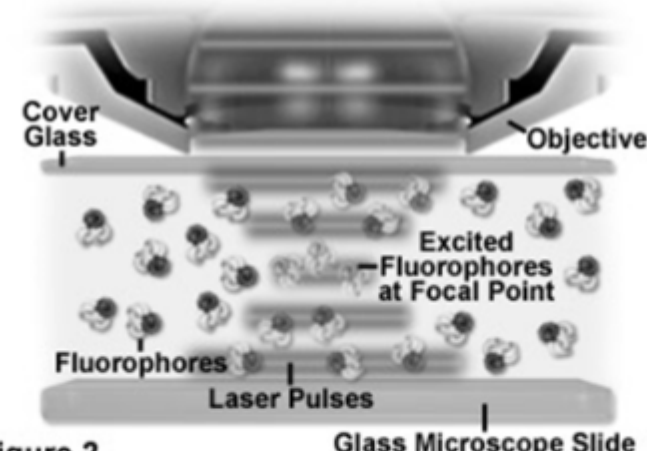
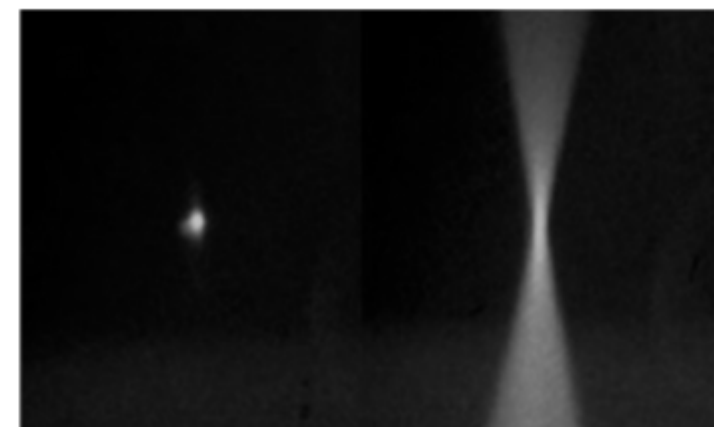
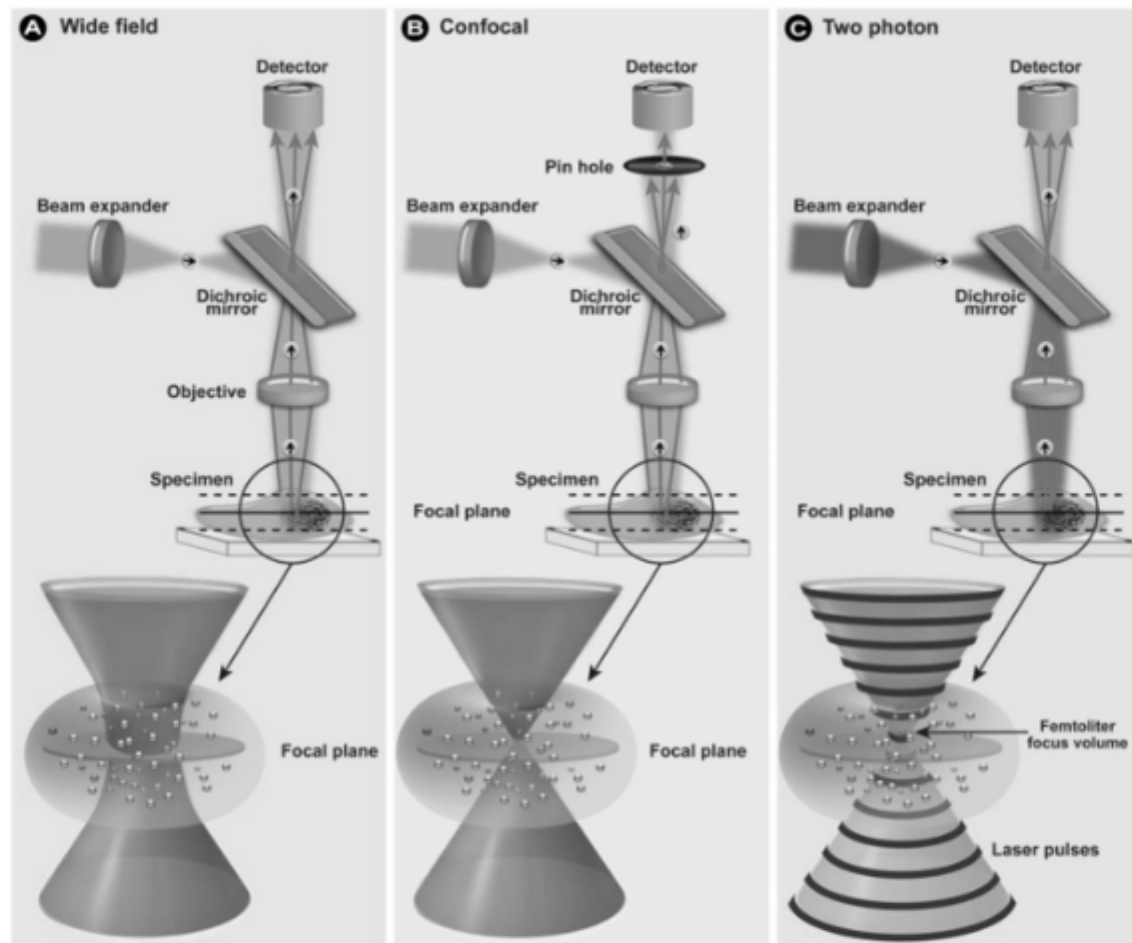


Figure 2



# Wide-field vs. Confocal vs. Two-photon (Multi-photon)



# Optické rozlišení (difrakční limit)

- taková vzdálenost dvou bodů objektu, kdy je ještě rozlišíme jako samostatné, tzn. nesplynou v jeden bod.

Rozlišení mikroskopu ovlivňují:

- **difrakce světla** - ohyb světla na štěrbině nebo překážce
- numerická apertura
- kondenzor
- vady čoček

## Difrakce světla

- jev odchýlení světla od přímočarého směru šíření, které není způsobeno odrazem, či lomem
- vzniká při průchodu světla optikou mikroskopu
- ovlivňuje výsledný obraz (konvoluce)
- optické rozlišení (difrakční limit) závisí na vlnové délce

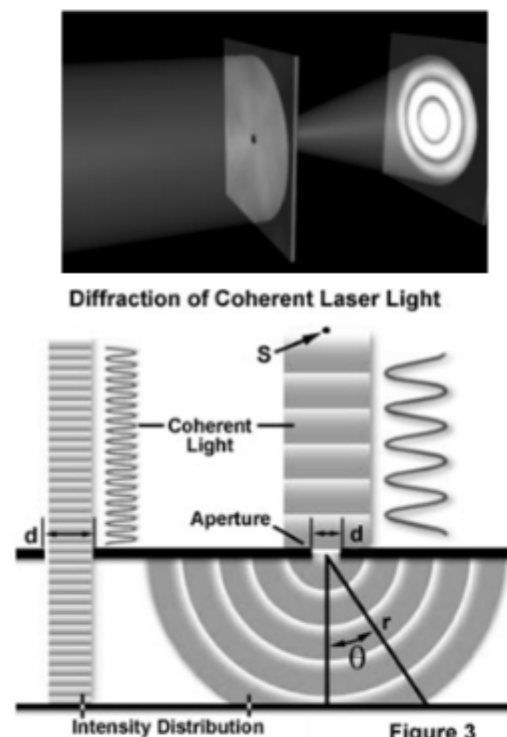
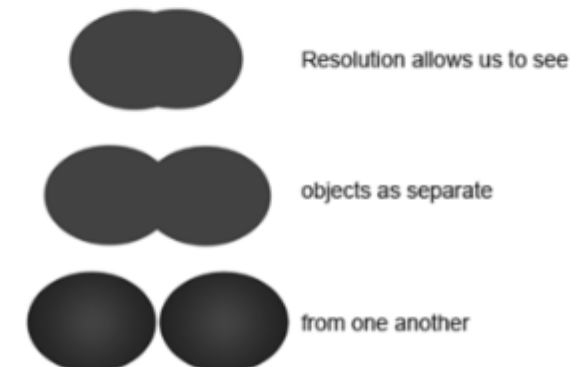
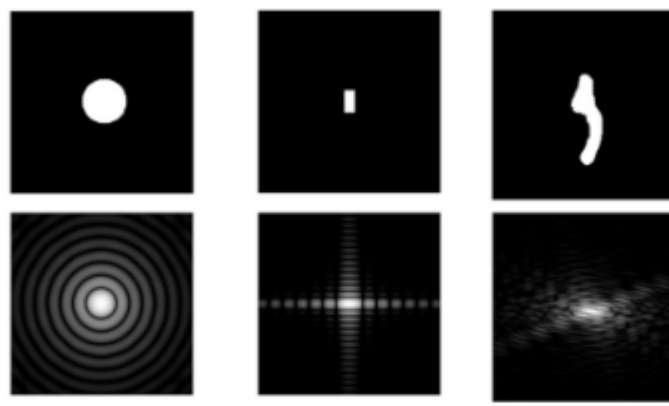
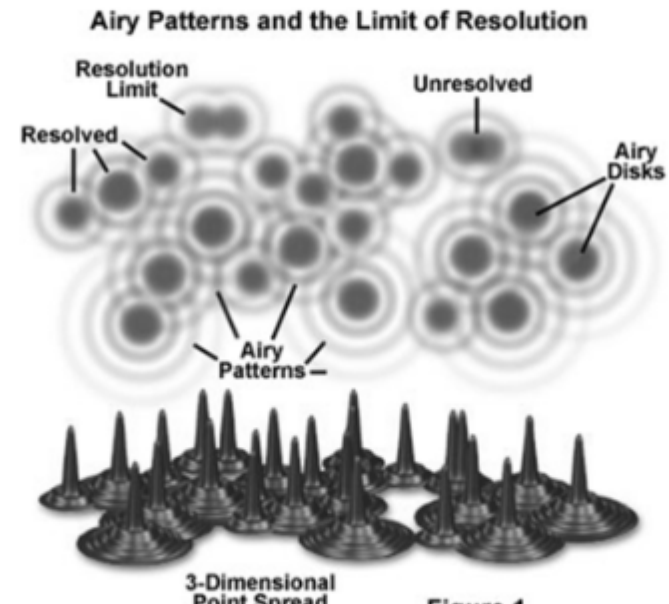
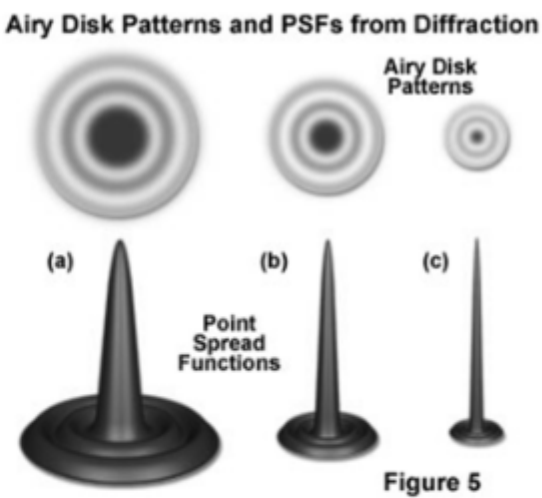
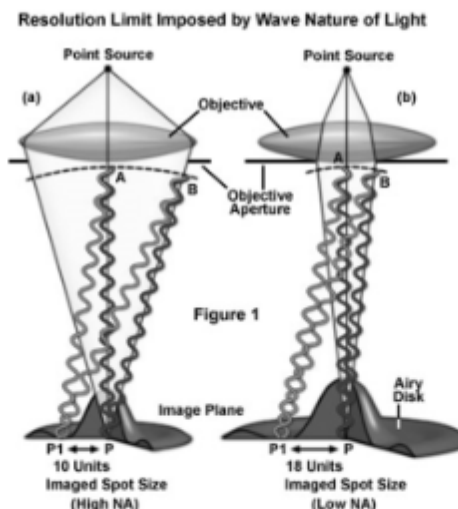


Table 2 - Resolution versus Wavelength

Wavelength (Nanometers)	Resolution (Micrometers)
360	.19
400	.21
450	.24
500	.26
550	.29
600	.32
650	.34
700	.37

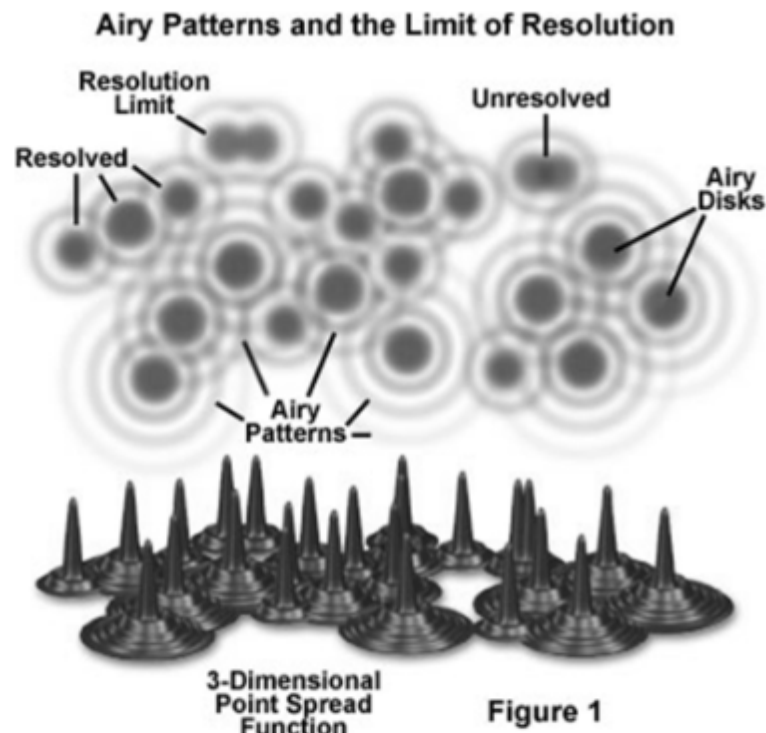
# Rozptylová funkce (point spread function, PSF)

- popisuje tvar, do nějž se v mikroskopu vykreslí bodový zdroj světla.
- při zobrazení v ploše ji popisuje Airyho funkce
- Sestává se z nejintenzivnějšího maxima prvního řádu, okolo nějž jsou výrazně méně intenzivní maxima vyšších řádů, tzv Airyho disky
- Obraz, který pozorujeme v mikroskopu, je konvolucí („kombinací“) signálu pozorovaného objektu a rozptylové funkce, která je důsledkem difrakce světla



# Konvoluce – praktické dopady

Airyho disky limitují rozlišení jednotlivých bodů v mikroskopu

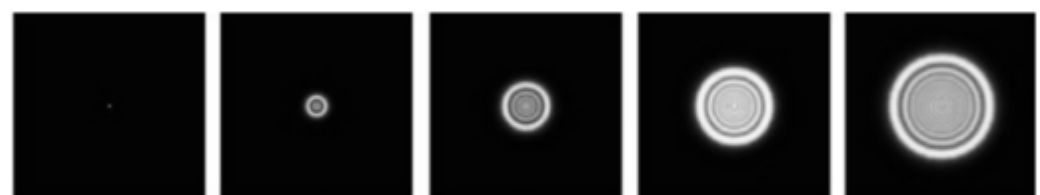
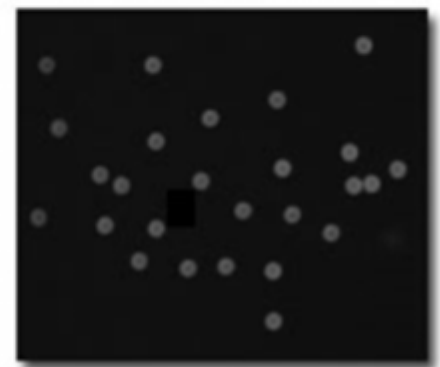


Vliv zaostření na velikost Airyho disku

Částice v rovině ostrosti

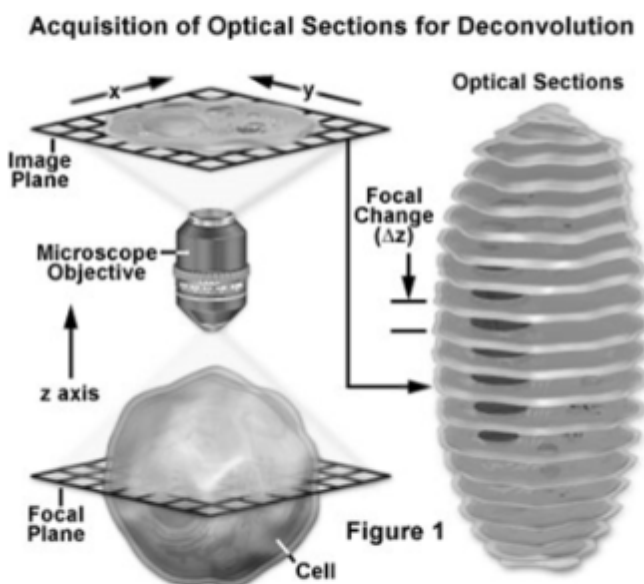
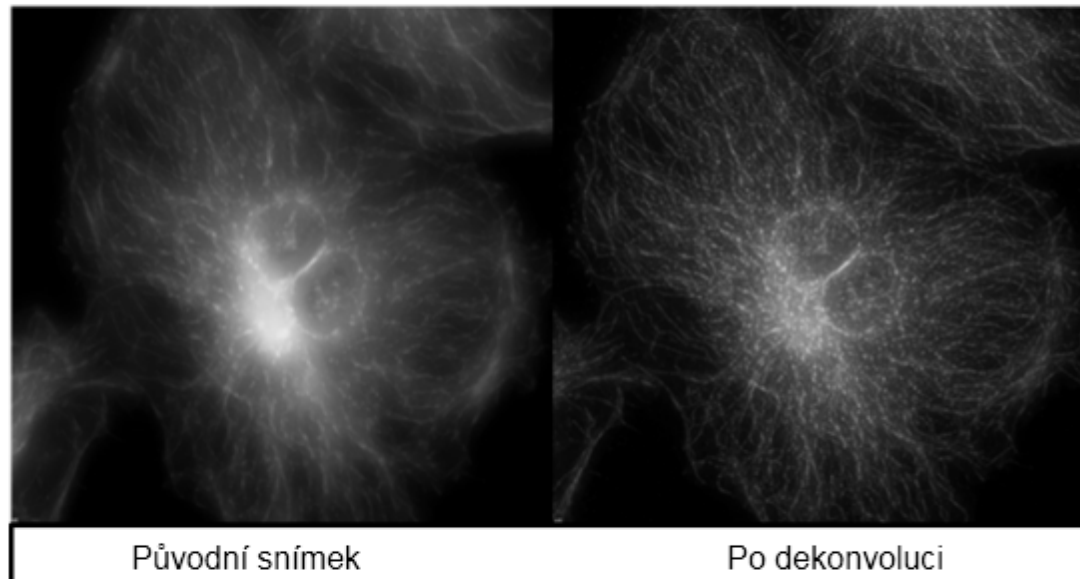


Nezaostřené částice



# Dekonvoluce

- počítačové zpracování obrazu
- SW na základě znalosti PSF odstraní signál vznikající difrakcí světla
- zvýšení kontrastu a rozlišení - odstranění neostrých částí obrazu
- 2D dekonvoluce - lze využít pro tvorbu 3D obrazu z jednotlivě upravených nasnímaných rovin
- 3D dekonvoluce – každý pixel 3D obrazu (náročná na čas a výkon počítače)
- <https://svi.nl/HuygensDeconvolution>



# Superrozlišovací mikroskopie

- optická mikroskopie umožňující pozorovat objekty **s rozlišením vyšším než difrakční limit**

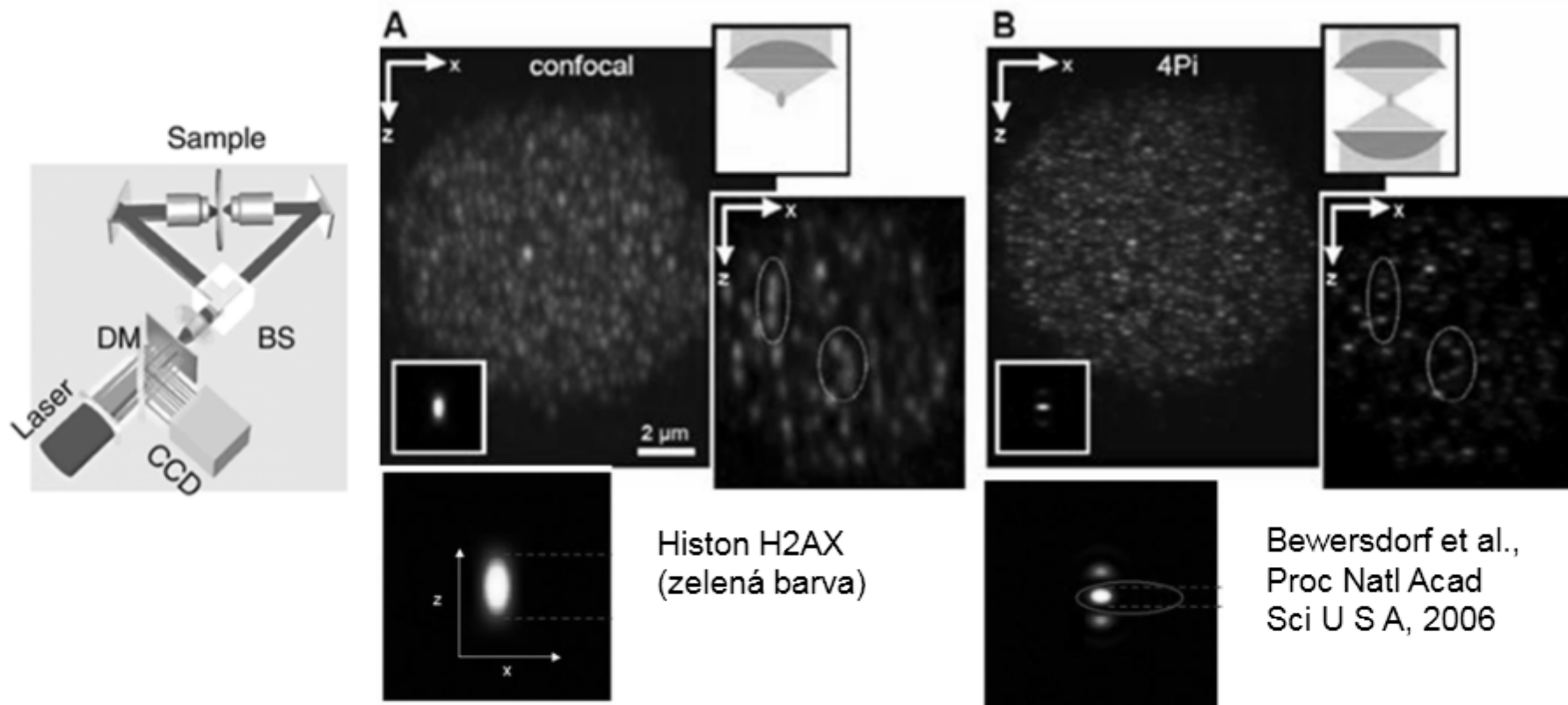


**2014 – Eric Betzig, Stefan Hell a William Moerner**

**Nobelova cena za chemii: "for the development of super-resolved fluorescence microscopy"**

## 4pi mikroskopie (1991 – vynalezl Stefan Hell)

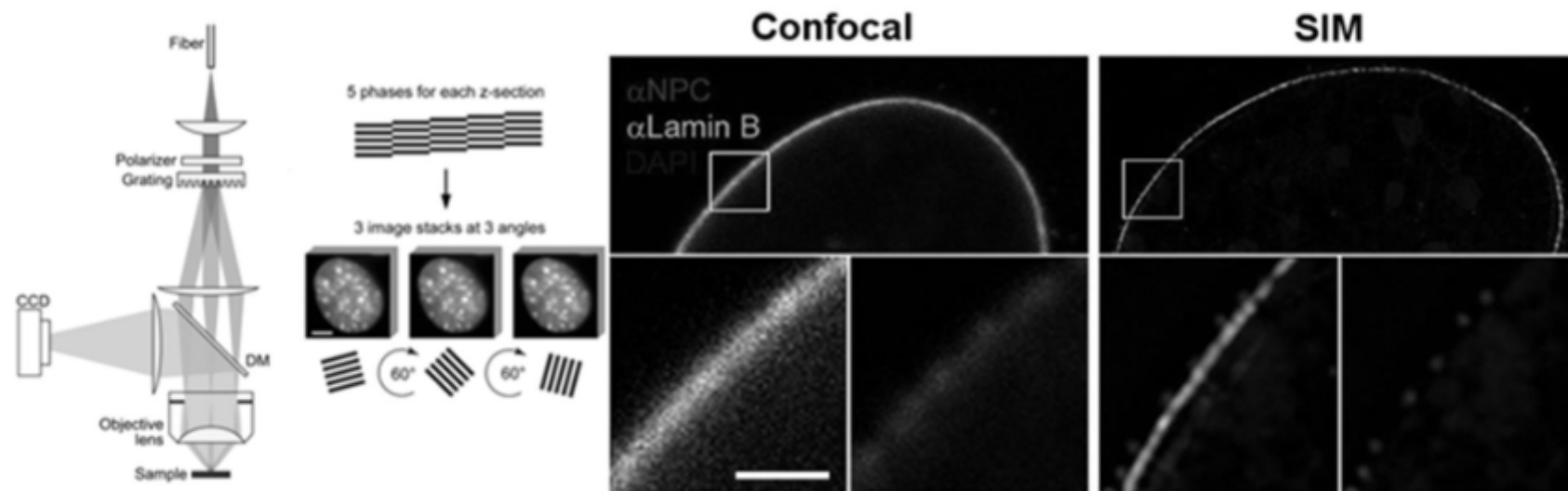
- využívá **druhého objektivu**, který snímá opačnou stranu vzorku
- zaostřeny do stejného bodu → výsledný součet 2 signálů (vlnoploch) přináší až 7x lepší rozlišení v ose Z oproti běžnému konfokálnímu mikroskopu



# Mikroskopie se strukturovaným osvětlením (SIM)

Structured Illumination Microscopy

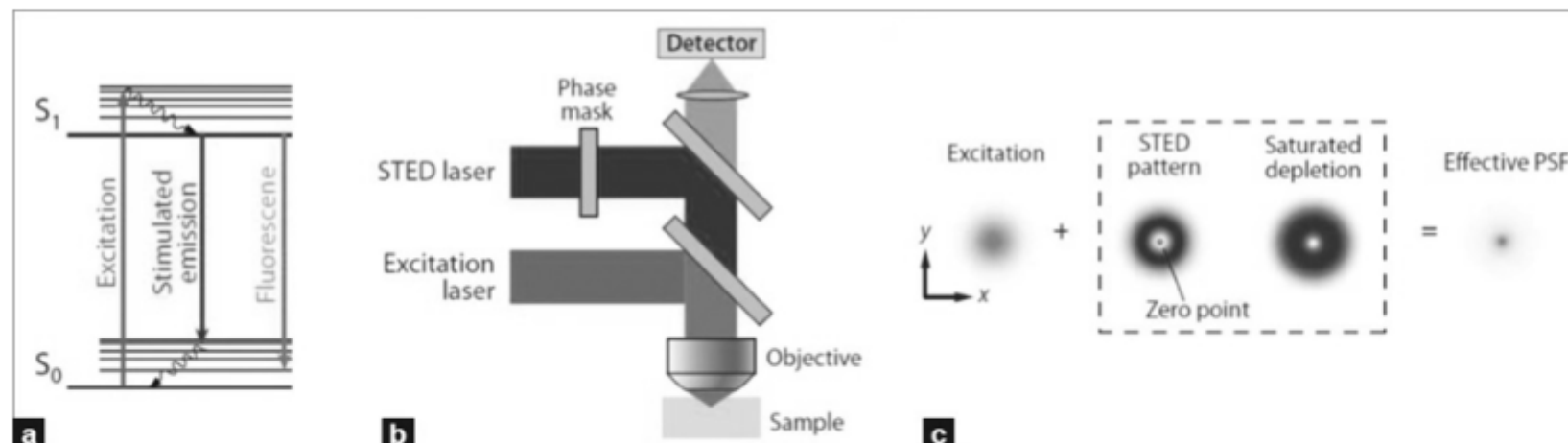
- Levná a jednoduchá metoda pro získání optických řezů
- Využívá standartní wide-field mikroskop
- osvětlení vzorku světlem s pruhovaným vzorem vzniklým difrakcí na mřížce
- 5-7 snímků přes mřížku pro vytvoření obrazu
- Efekt vyvolaný osvětlením přes mřížku se používá k identifikaci fluoroforů, které se nachází v rovině zaostření jednotlivých snímků – složení obrazu



# Vyčerpání stimulovanou emisí (STED)

Stimulated Emission Depletion

- 1994 – vynalezl Stefan Hell a Jan Winchmann
- spolu s excitačním světlem se oblast ozáří i světlem s delší vlnovou délkou (tvar mezikruží; depletion donut, STED pattern)
- v oblasti STED dochází k vyzáření fluorescence o vlnové délce shodné s depletion beam = odfiltrováno
- zůstává fluorescenční záření pouze v nezhášené oblasti uvnitř mezikruží
- Výkonný pulsní laser - drahé



# STED

- laterální rozlišení (osy X-Y) obecně asi 20 nm, axiální (osa Z) 40-50 nm

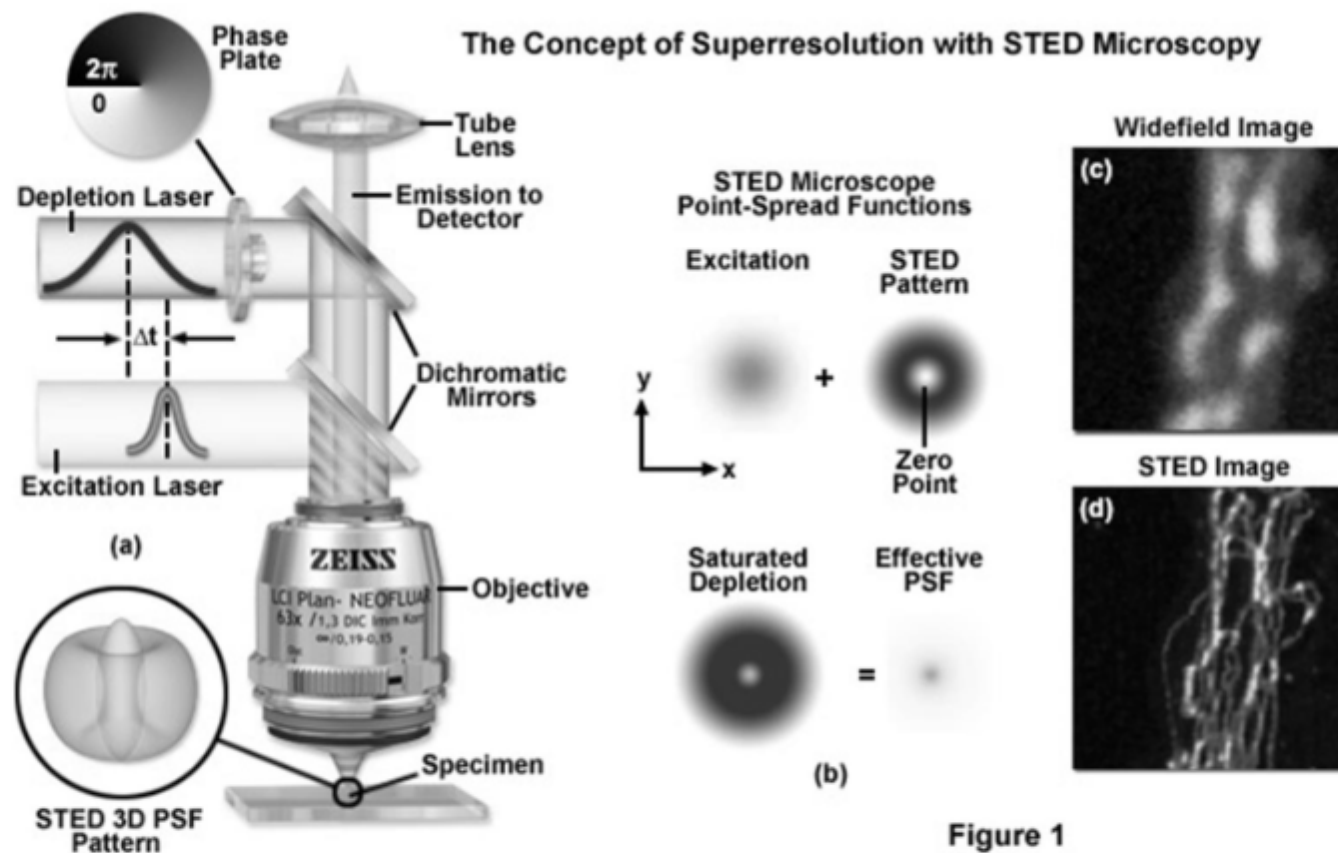
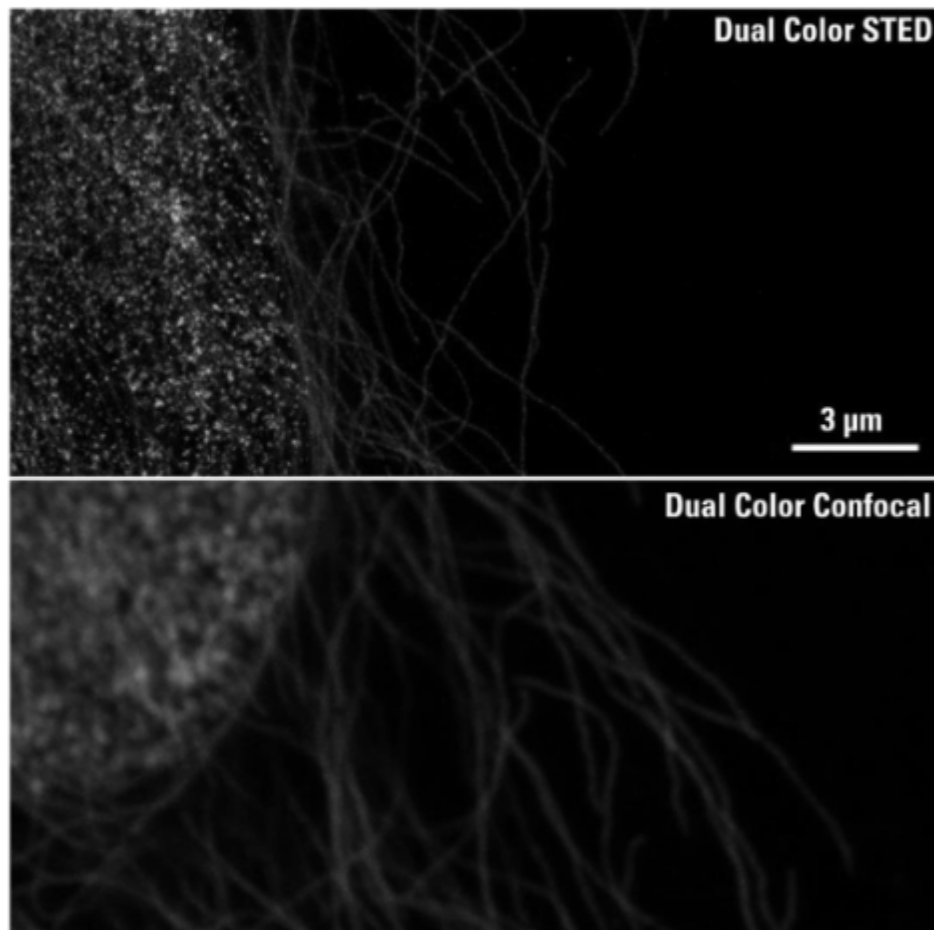
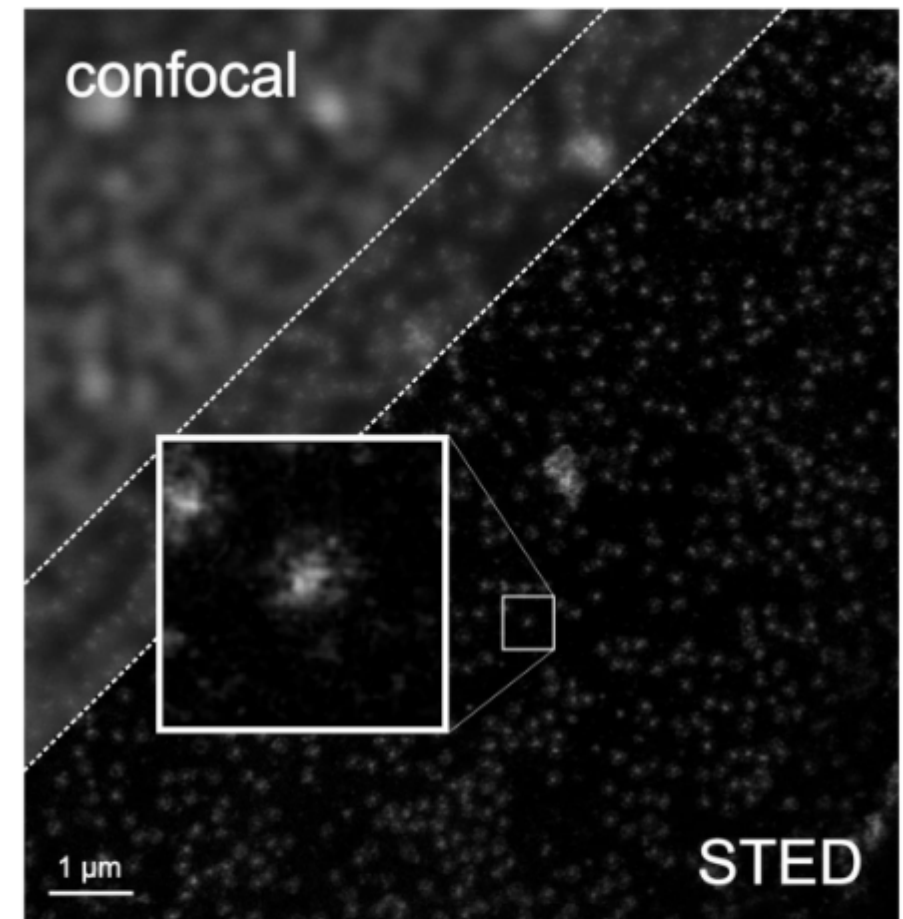


Figure 1

# STED



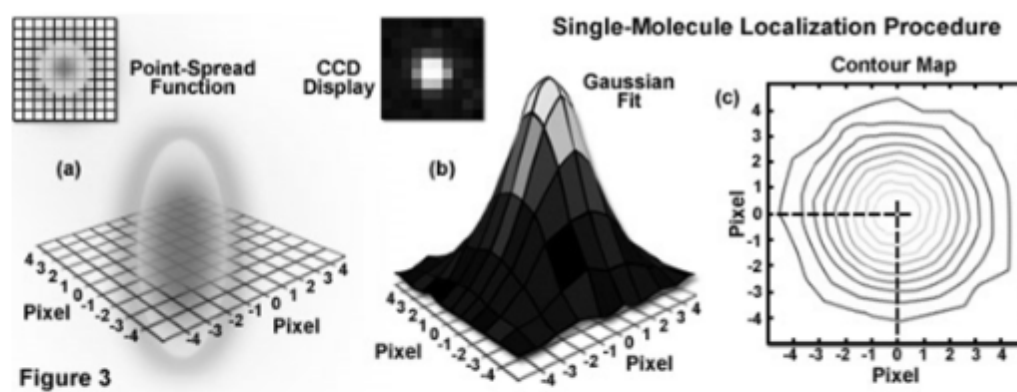
Histon H3 (zelená); mikrotubuly (červená)



Proteinové komplexy jaderného póru

# Single-Molecule Superresolution Imaging

- **STORM** – stochastic optical reconstruction microscopy
- **PALM** – photoactivated localization microscopy (vynalezl Eric Betzig)
- **FPALM** – fluorescence photoactivation localization microscopy
  
- využívají wide-field mikroskopii
- vychází z **fluorescence jednotlivých (nepřekrývajících se) molekul fluorochromů** (single-molecule imaging)

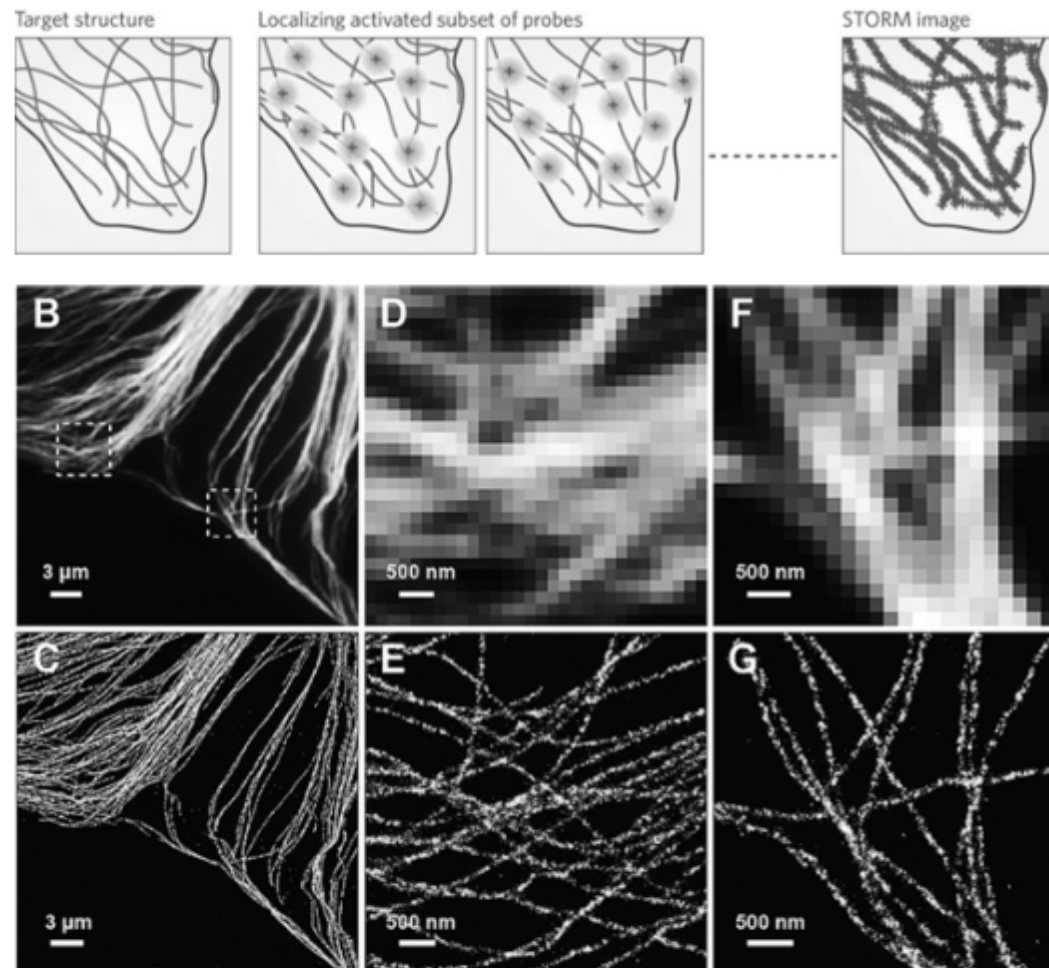


Velké množství fluorochromů  
(cílových molekul) a příliš blízko



→ nelze rozlišit jednotlivé molekuly

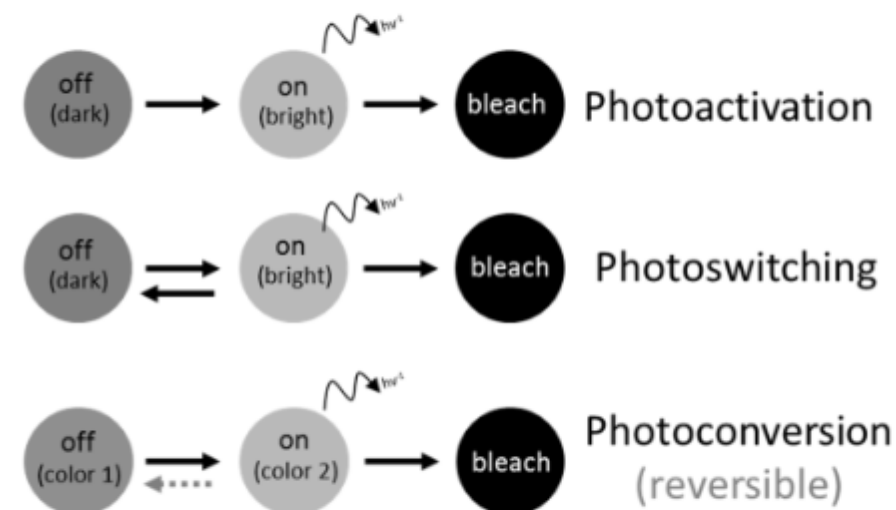
# Single-Molecule Superresolution Imaging



1. Snímek fluorescence jednotlivých molekul (nepřekrývajících se) fluochromů = snímek obsahuje pouze omezený počet signálů
2. Softwarově určen střed (pozice) daných molekul
3. Další snímek zaznamená jiné nepřekrývající se fluorochromy
4. Softwarově určen střed (pozice) těchto molekul
5. Výsledný obraz je tvořen složením (překryvem) tisíců takových snímků

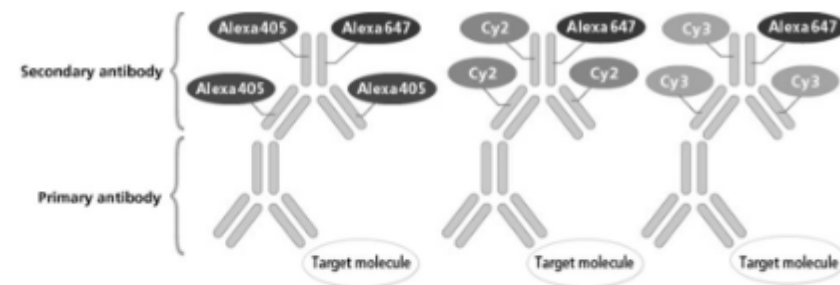
# Single-Molecule Superresolution Imaging

- William Moerner: „photoswitchable“ značka - eYFP lze reaktivovat modrým světlem (405 nm) → lze znova excitovat světlem 488 nm
- značky (fluorescenční proteiny, fluorochromy) **musí umožňovat změnu spektrálních vlastností** za pomoci světla o definované délce  
(Chozinski et al., FEBS Lett, 2014)
- fotoaktivace (photoactivation)
- „fotopřepínání“ (photoswitching)
- fotokonverze (photoconversion)
- **použití laseru s nízkou intenzitou**
- jednotlivé molekuly fluorochromů – nízká pravděpodobnost zásahu a změny stavu (off→on)

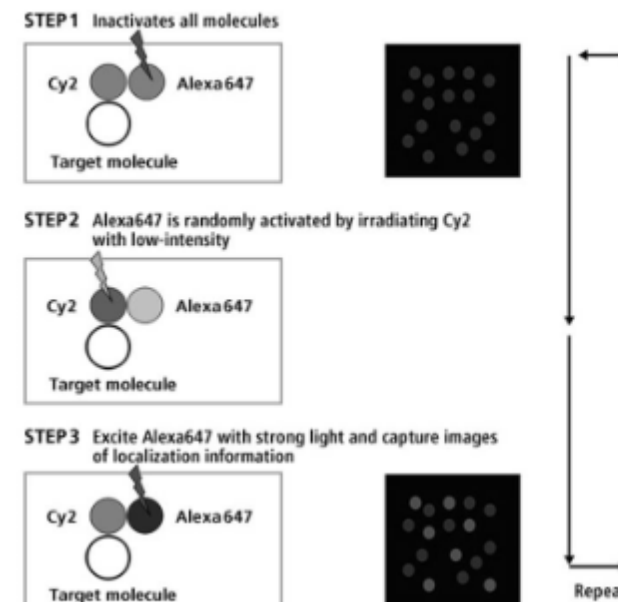


# Single-Molecule Superresolution Imaging

Systém dvojice fluorochromů: aktivátor + „photoswitchable“ reportér



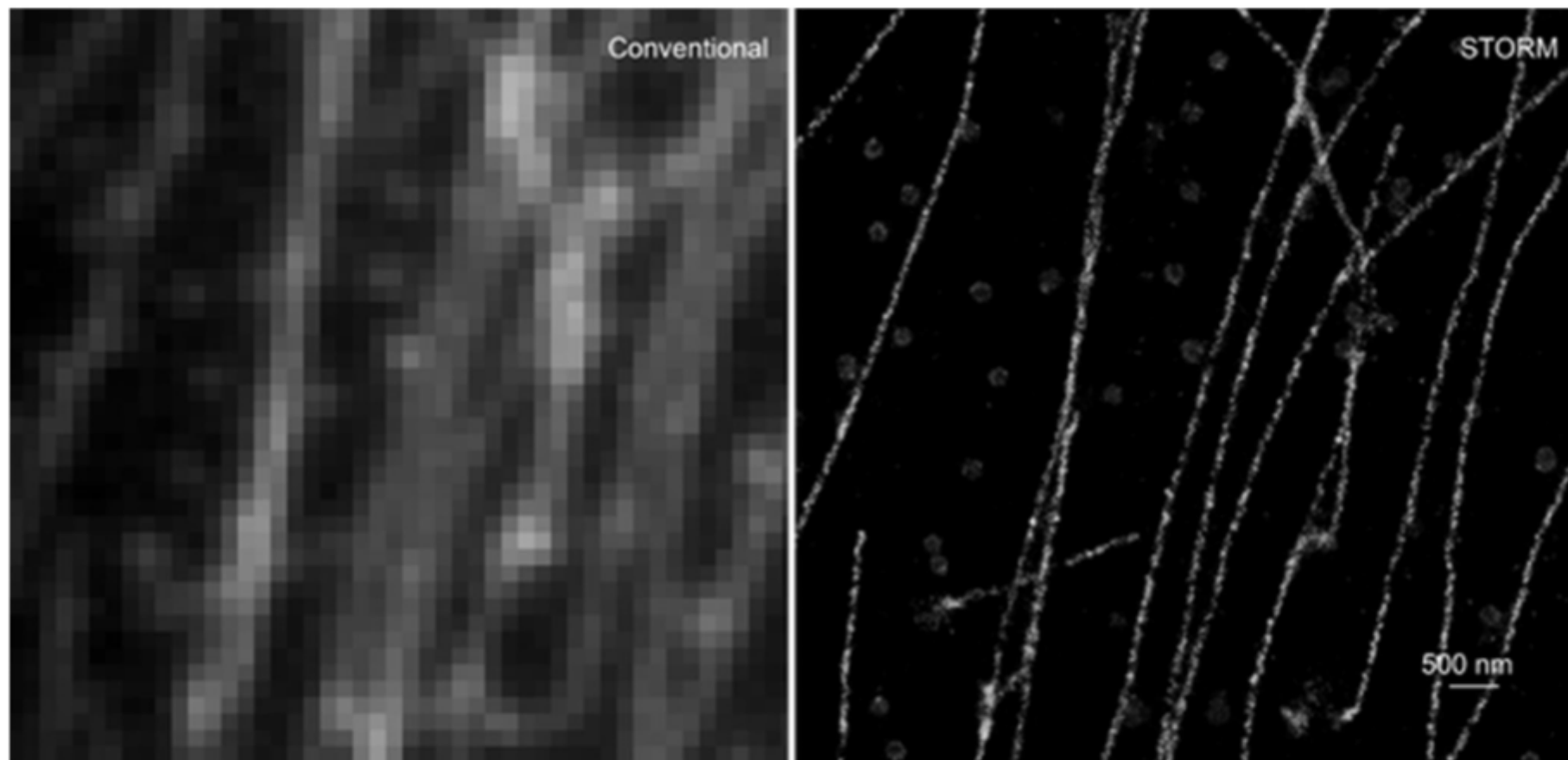
Dye for activation	Dye for image capturing
Alexa405	Alexa647
Cy2	Alexa647
Cy3	Alexa647



<http://www.microscopyu.com/tutorials/flash/superresolution/storm/index.html>

# STORM

- laterální rozlišení <10 nm, axiální rozlišení <20 nm

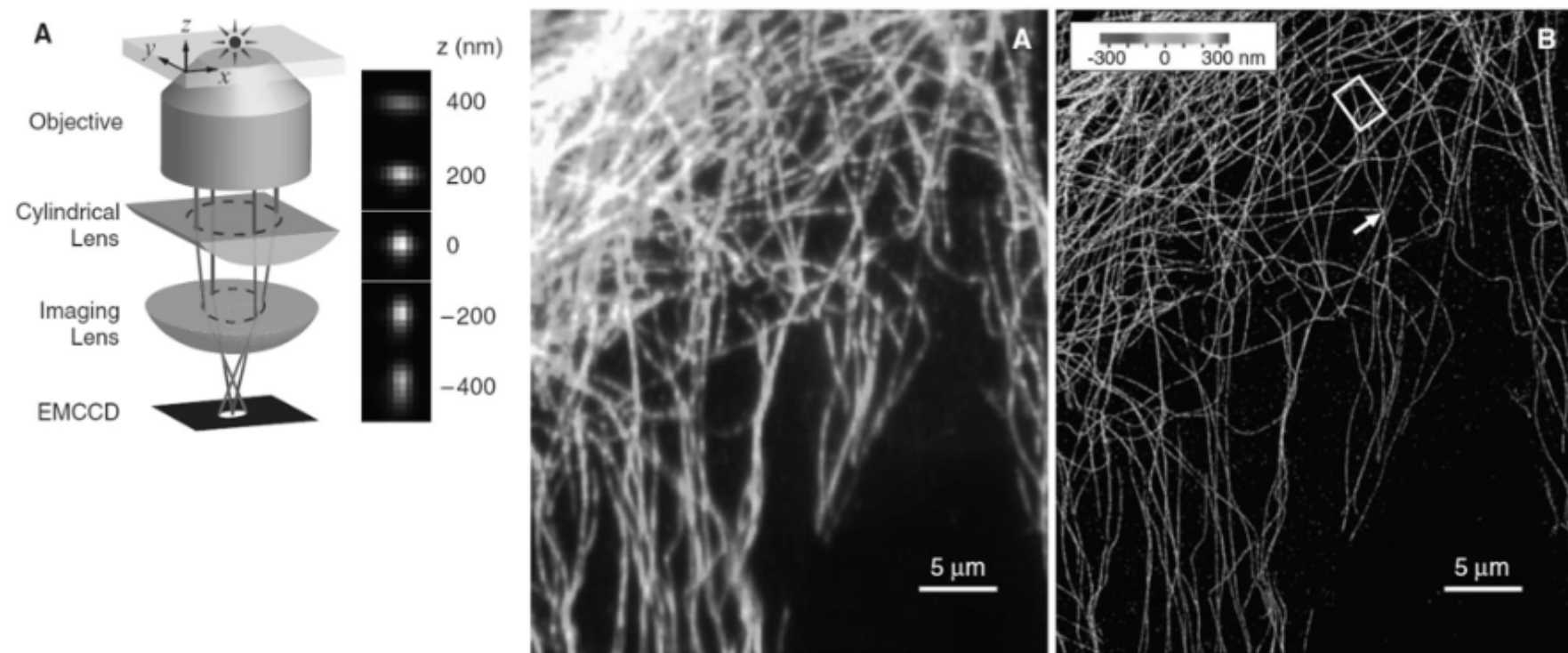


Mikrotubuly (zelená), klatrinem potažené jamky (červená; clathrin-coated pits)

# 3D-STORM

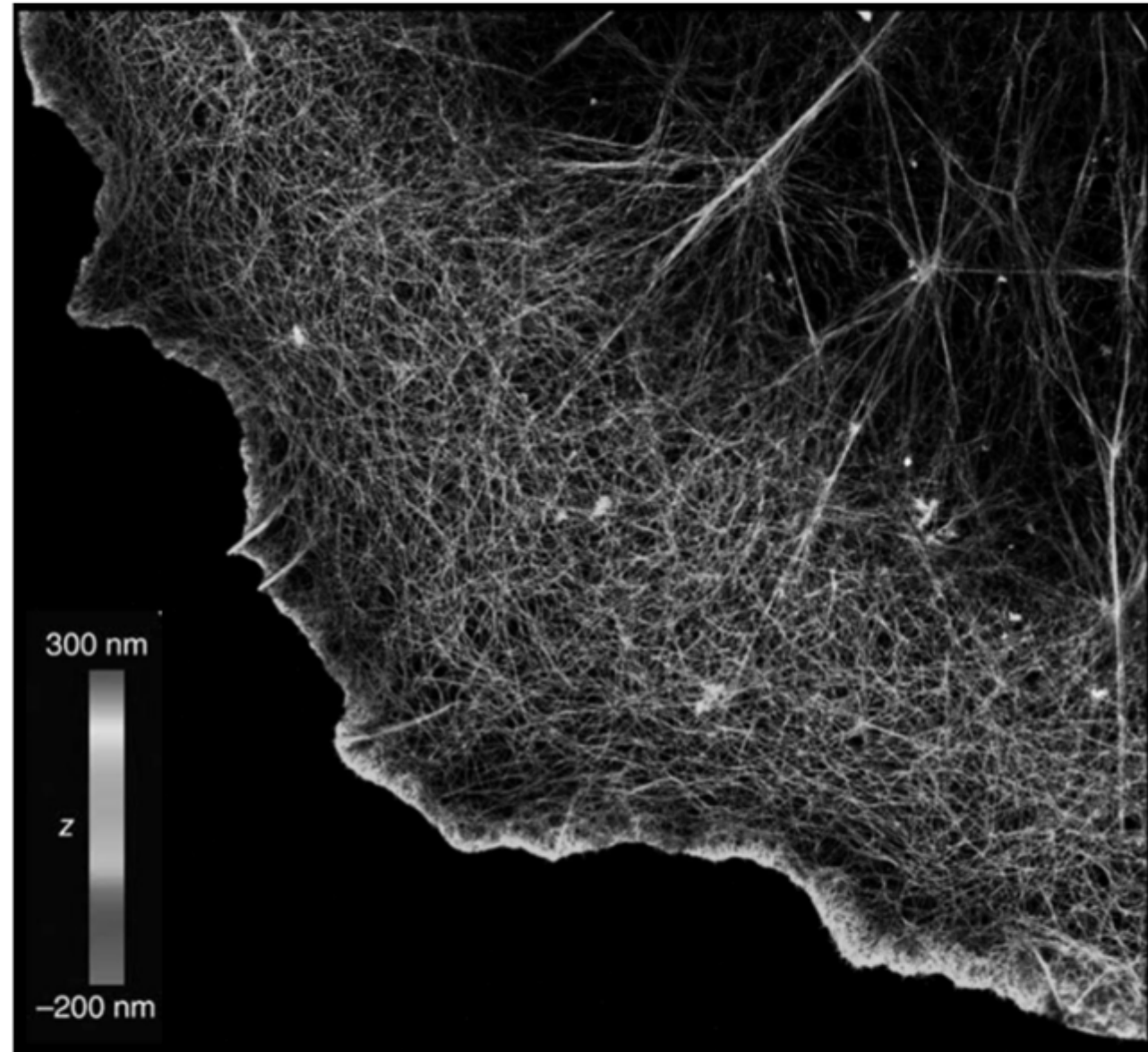
(Huang et al., Science, 2008)

- modifikace: do objektivu přidána **cylindrická čočka – cílená změna PSF**
- lze určit pozici v rovině Z a zobrazit v rámci snímku



Mikrotubuly – pozice v Z rovině odpovídá barvě

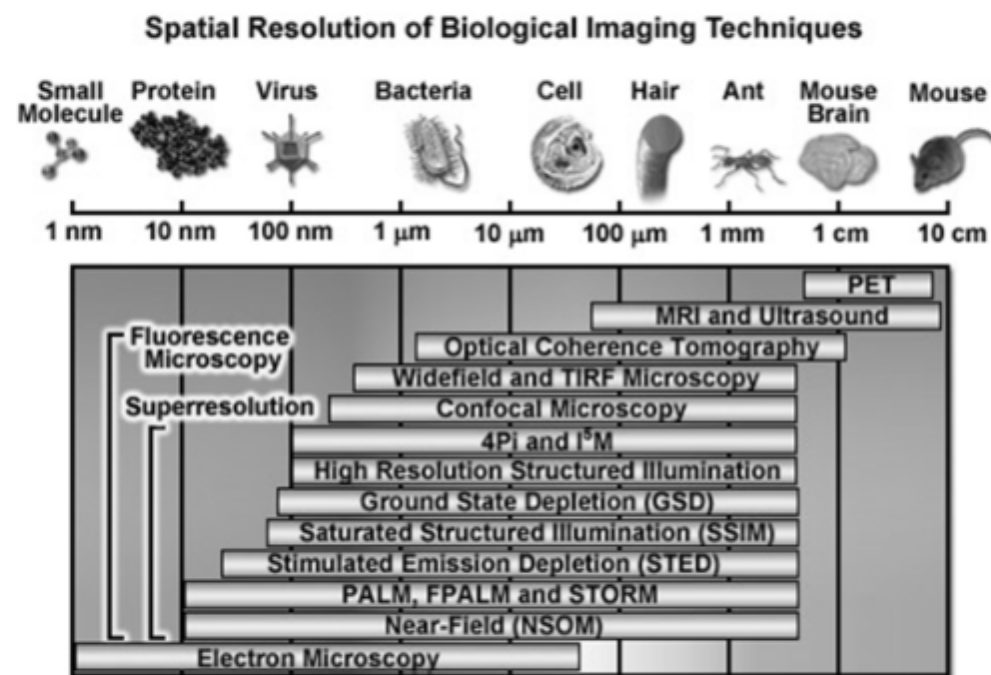
## 3D-STORM



Aktin – pozice v Z rovině  
odpovídá barvě

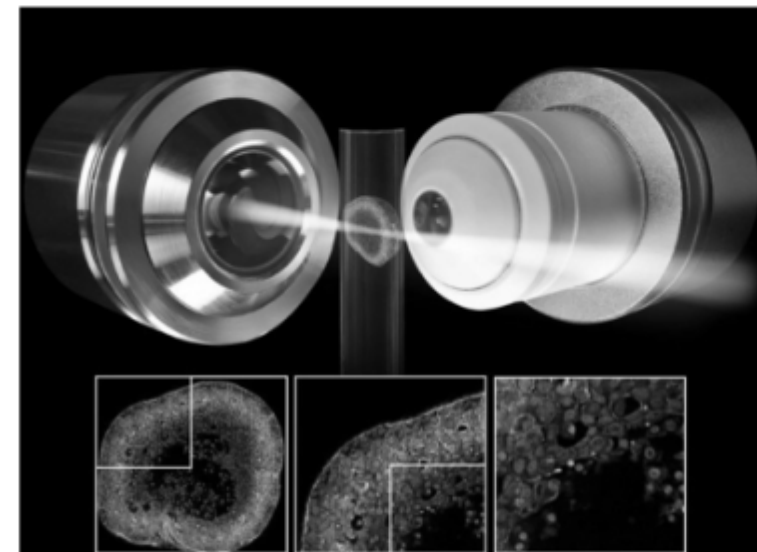
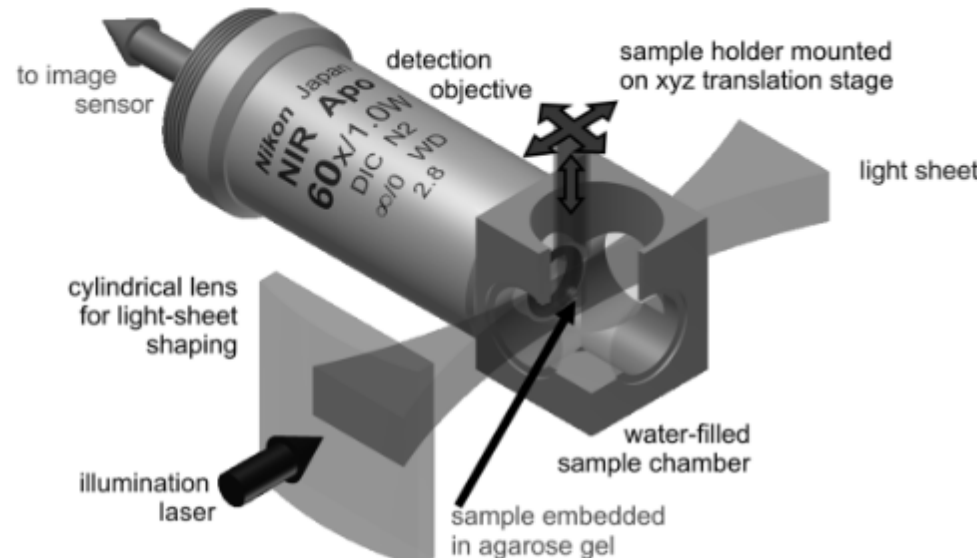
# Porovnání rozlišení zobrazovacích technik

	x / y	z
Wide-field fluorescenční MS:	230	1000 nm
Konfokální a multiphoton MS :	180	500
Superrezoluční MS: 4Pi	200	90
SIM:	100	250
STED, PALM, STORM:	20	50



# Light Sheet Fluorescence Microscopy (LSFM)

- zdroj světla je umístěn kolmo k optické dráze
- osvětlení vzorku pomocí úzké roviny světla (light sheet)
- nedochází k excitaci fluoroforů mimo rovinu světla = vhodné pro optické řezy

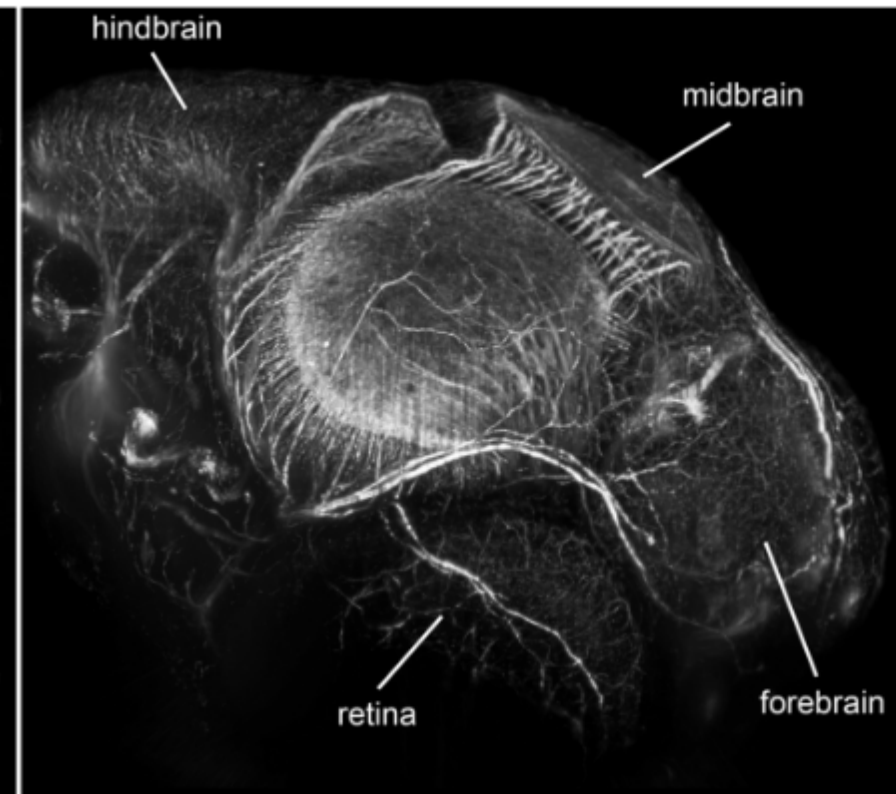


- vzorek uzavřen v agaróze, hydrogelu ve skleněné kapiláře (nedochází k deformacím objektu); posun objektu a otáčení → skládání 3D obrazu
- **výhodná zobrazovací metoda pro 3D zobrazování velkých objektů**

# Light Sheet Fluorescence Microscopy (LSFM)



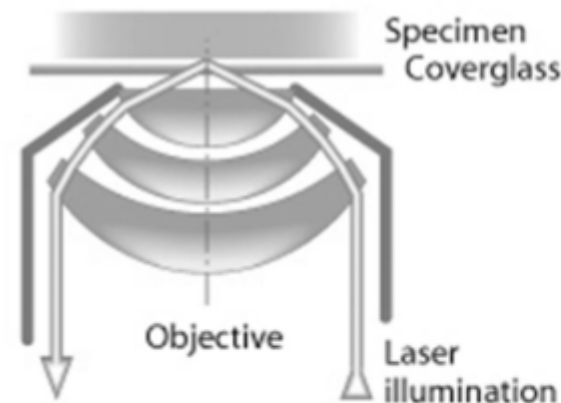
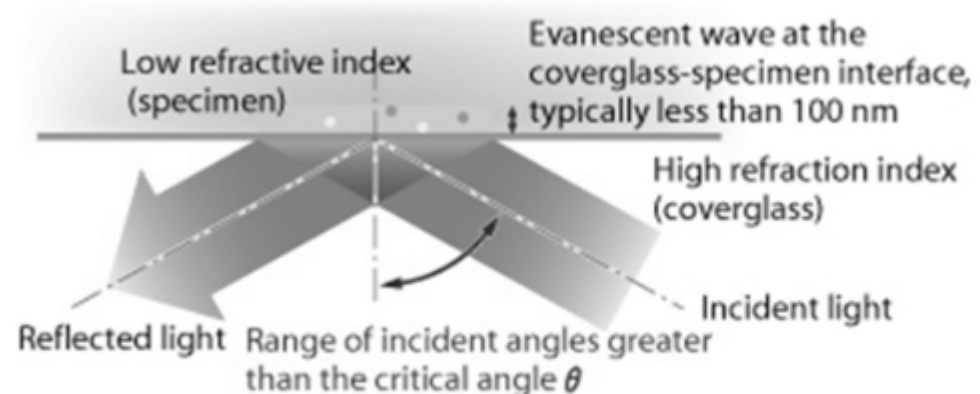
Medaka japonská – acetylovaný tubulin (zelená)



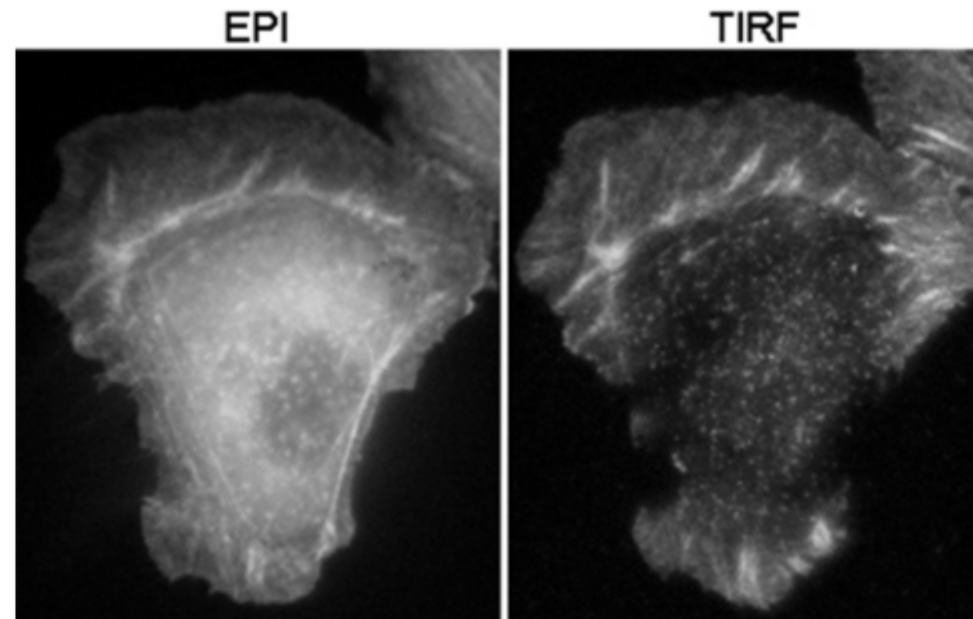
Hlava medaky – 20x zvětšeno

# Total internal reflection fluorescence (TIRF)

- velmi vhodná metoda pro studium dějů na membráně
- výborné axiální rozlišení
- „evanescent wave“ proniká v preparátu pouze do hloubky cca 100nm



## Total internal reflection fluorescence (TIRF)



F-aktin (zelená) v nádorové buněčné linii